

-
-
-



Ústav fyzikální chemie Jaroslava Heyrovského, AVČR v.v.i.
Dolejškova 3, 182 23 Praha 8

Mikroskopie rastrovací sondou

Pavel Janda

Laboratoř mikroskopie rastrovací sondou
Odd. elektrochemických materiálů

-
-
-
-
-
-
-
-
-

-
-
-

Rozdělení mikroskopických metod podle rozlišení

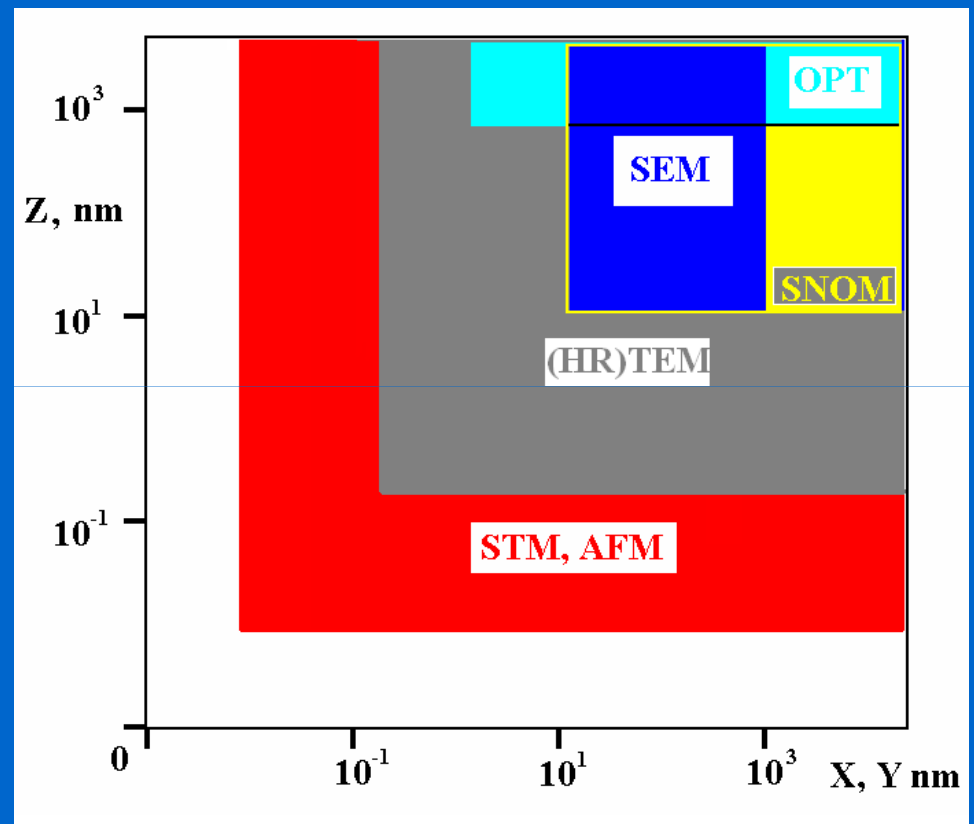
OPT: optická mikroskopie

SNOM: mikroskopie blízkého pole

SEM: elektron.rastr.mikroskopie

HRTEM: transmisní
el.mikroskopie

STM,AFM:
Tunelová mikroskopie,
mikroskopie atomárních sil

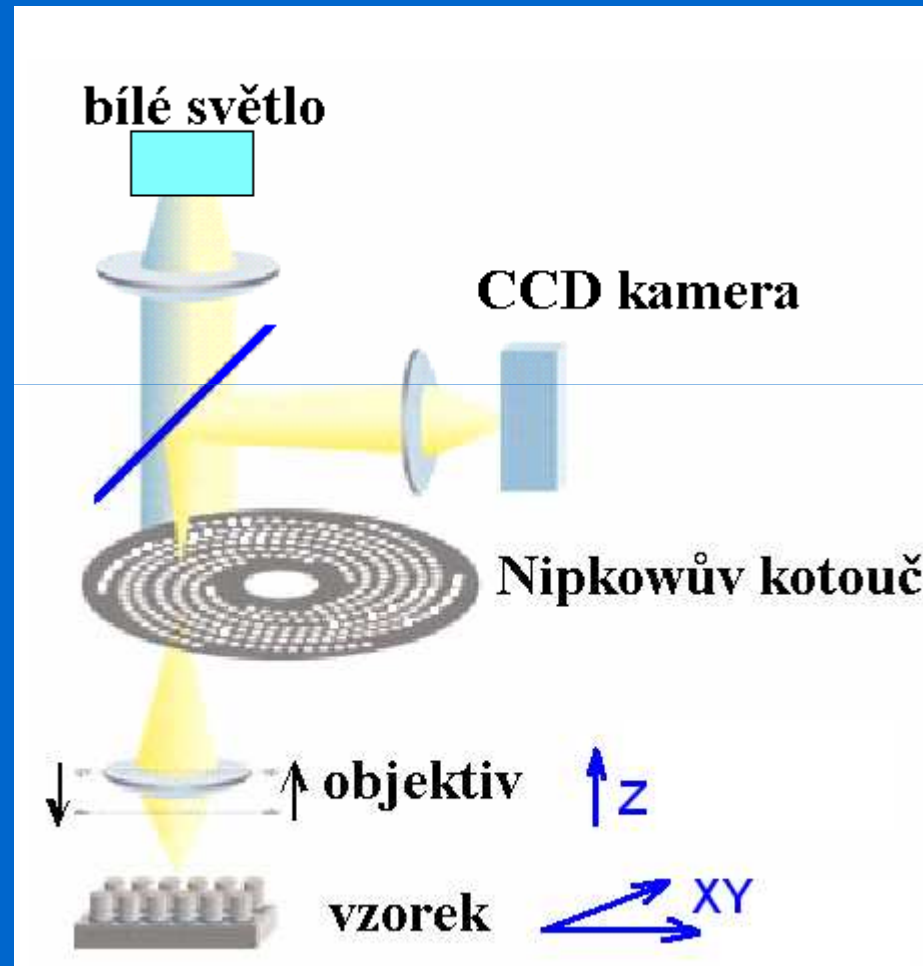




Mikroskopie rastrovací sondou

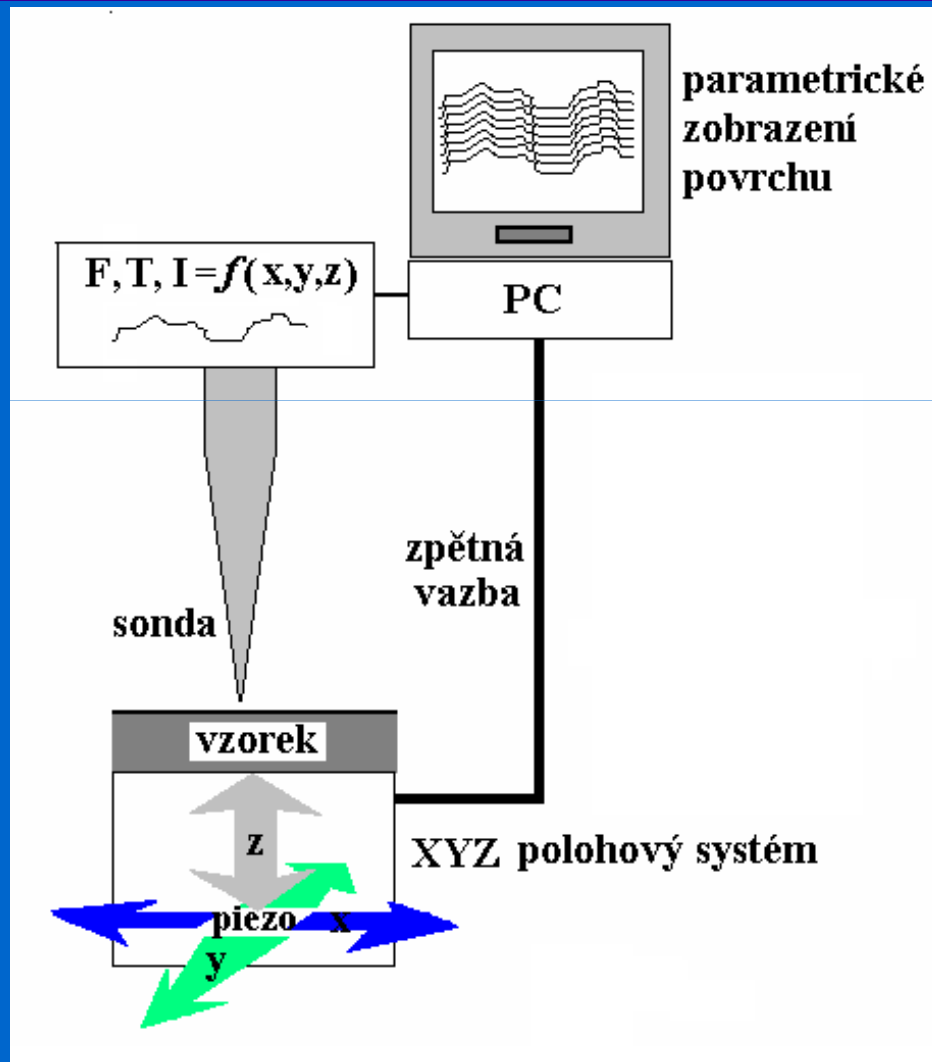


3D konfokální mikroskop



-
-
-

Mikroskopie rastrovací sondou - uspořádání



-
-
-

Rozdělení podle druhu přenášené informace

Přenos náboje

Elektrony - tunelová mikroskopie **STM**

Ionty - elektrochemická mikroskopie **ECM**

Přenos elektromagnetického záření

-IČ - Termální mikroskopie **ThM**

-UV/Vis/IČ - optická mikroskopie/spektr. blízkého pole **SNOM**

- Hrotom zesílená optická mikroskopie/spektr. **TERS/TEFS**

Silové interakce - mikroskopie atomárních sil **AFM**

Dlouhého dosahu: magnetické, kulombické

Středního dosahu: van der Waals (dipol-dipol, indukce dipol-nepolar., kapilární síly: kapalina-sonda...)

Krátkého dosahu: vazebné interakce (atraktivní)
repulzívny (deformační)



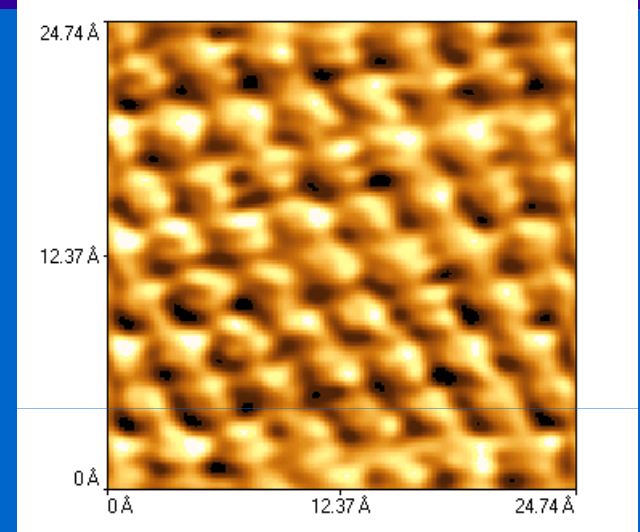
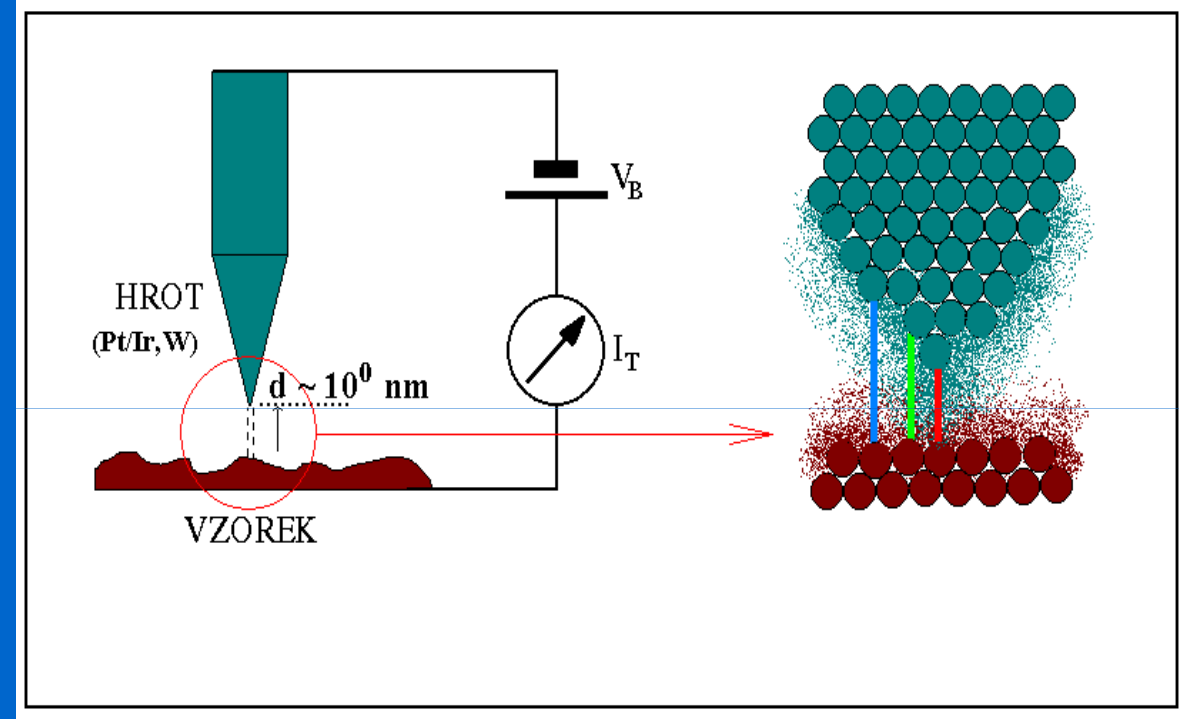
•
•
•

Tunelová mikroskopie a spektroskopie STM, STS

•
•
•

Tunelová mikroskopie

Binning, Rohrer, IBM, 1981, Nobelova cena 1986



Au(111)

Aproximace tunelového proudu

$$I_T \sim V_B f_{mTS}(V_B) \exp [-2z\sqrt{(2m\Phi_{ST}/\hbar^2)}]$$

$\hbar = h/2\pi$, $f_{mTS}(V_B)$ závislost I_T na V_B daná e- strukturou hrotu a vzorku,
 z ...vzdálenost hrot-vzorek ($\sim 10^{-9}$ nm), V_B do $\pm 1-2$ V, $I_T \sim$ nA-pA

-
-
-

Tunelová spektroskopie

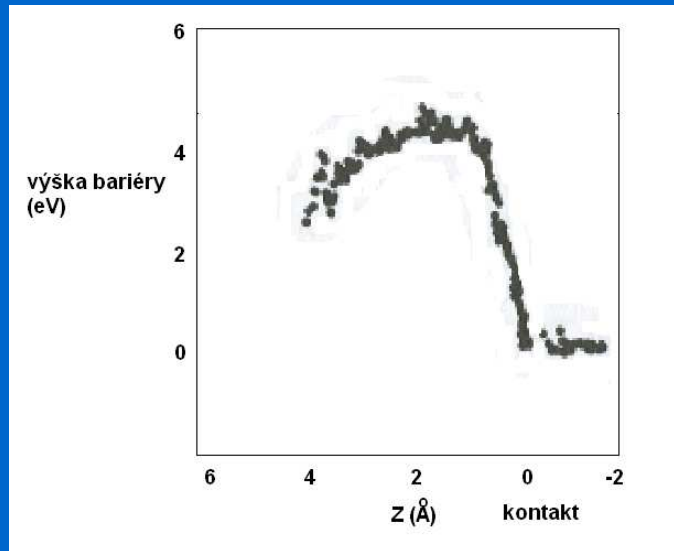
Bariérová (distanční) spektroskopie:

pro nízké V_B je $(dI_T/dZ)/I_T \sim (2\sqrt{2m_e})/\hbar \sqrt{(\Phi_S + \Phi_T)}$

kde Φ_S , Φ_T lokální výstupní práce, I_T tunelový proud, Z vzdálenost hrotu od vzorku, m_e hmota e-

provedení: **modulace VVVVV Z-pieza a záznam $dI_T/dZ \Rightarrow \Phi_{S,T}$**

zjednodušení: $\Phi_T \approx \text{konst.}$, laterální variace v měřené výšce bariéry \sim lokální Φ_S



Si-povrch, W-hrot

D.A. Bonnel: Scanning Tunneling Microscopy and Spectroscopy
VCH 1993

-
-
-
-
-
-
-
-

- 100

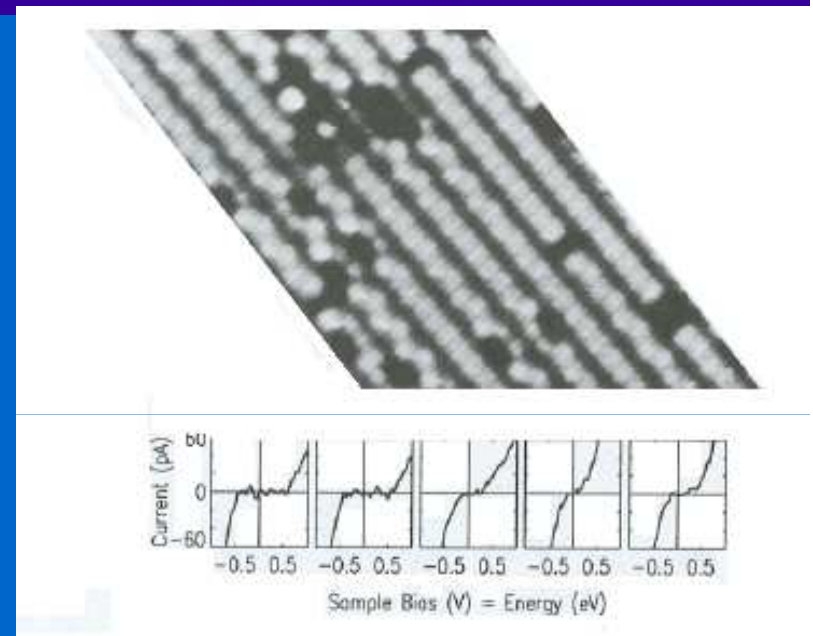
Tunelová spektroskopie

Napěťová spektroskopie :

Pro $V_B <$ výst. práce hrotu a vzorku (typicky 10 mV), výraz $dI_T/dV_B \sim$ lokální povrchové hustotě stavů (skutečných nebo pocházejících z uspořádání vnitřní pásové struktury vzorku)

Provedení: Modulace VVVVV V_B , záznam I_T - V_B křivky, obvykle v podobě $d(\log I_T)/d(\log V_B)$ vs V_B

**Poskytuje: mapu povrchových stavů (v UHV)
používá se k zobrazení zaplnění stavů, ad-
atomů a volných vazeb (*dangling bonds*) ...**



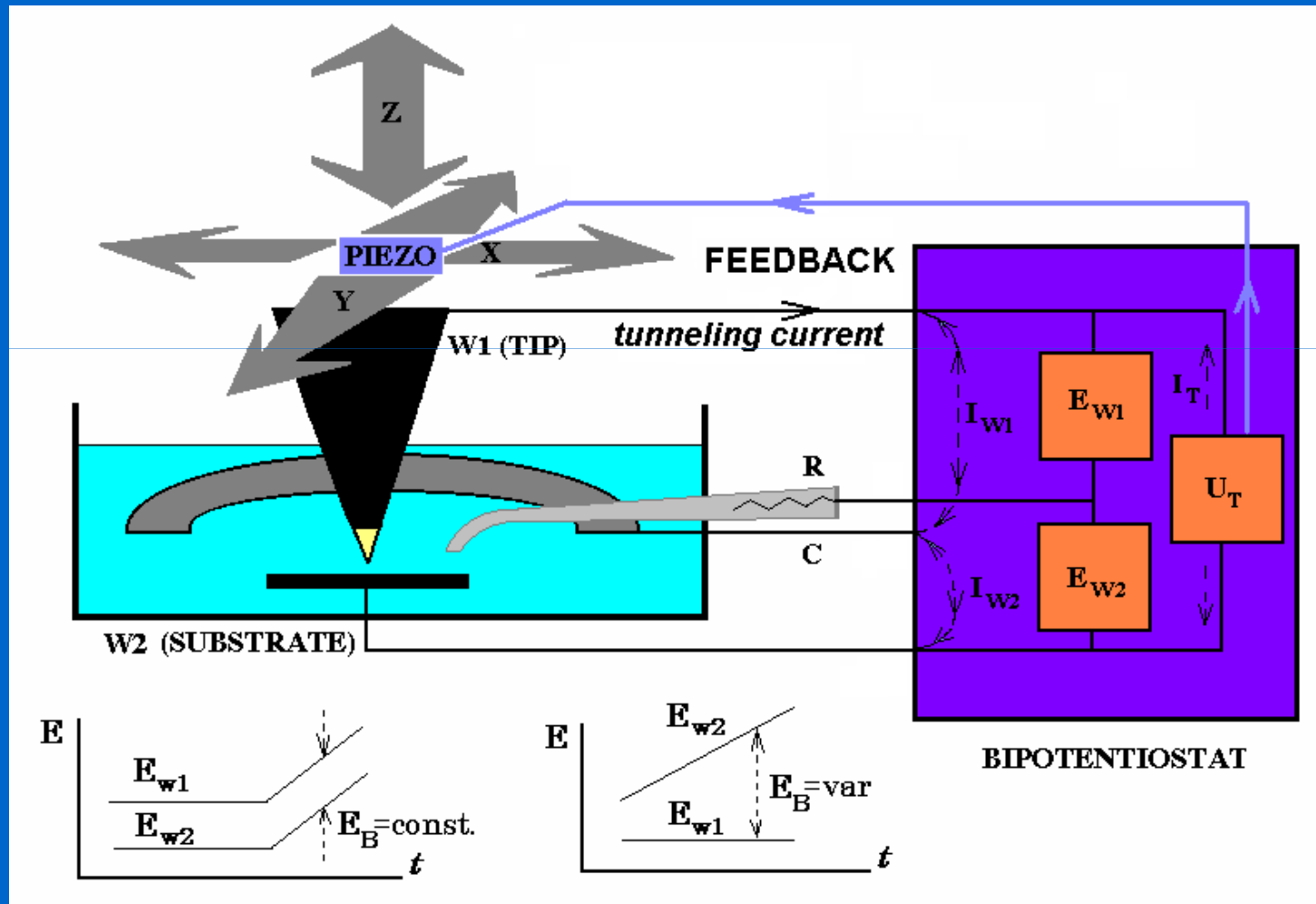
I_T - V_B křivky na monokryst Si (UHV) při průchodu hrotu nad defektem

(Frank, L. - Král, J., Ed.), : Metody analýzy povrchů. Iontové, sondové a speciální metody
Academia, Praha 2002

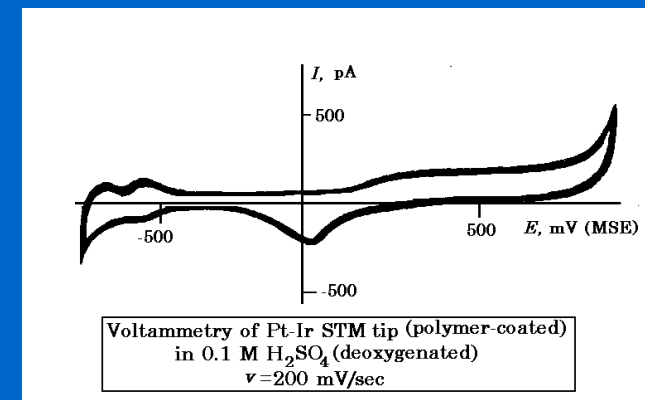
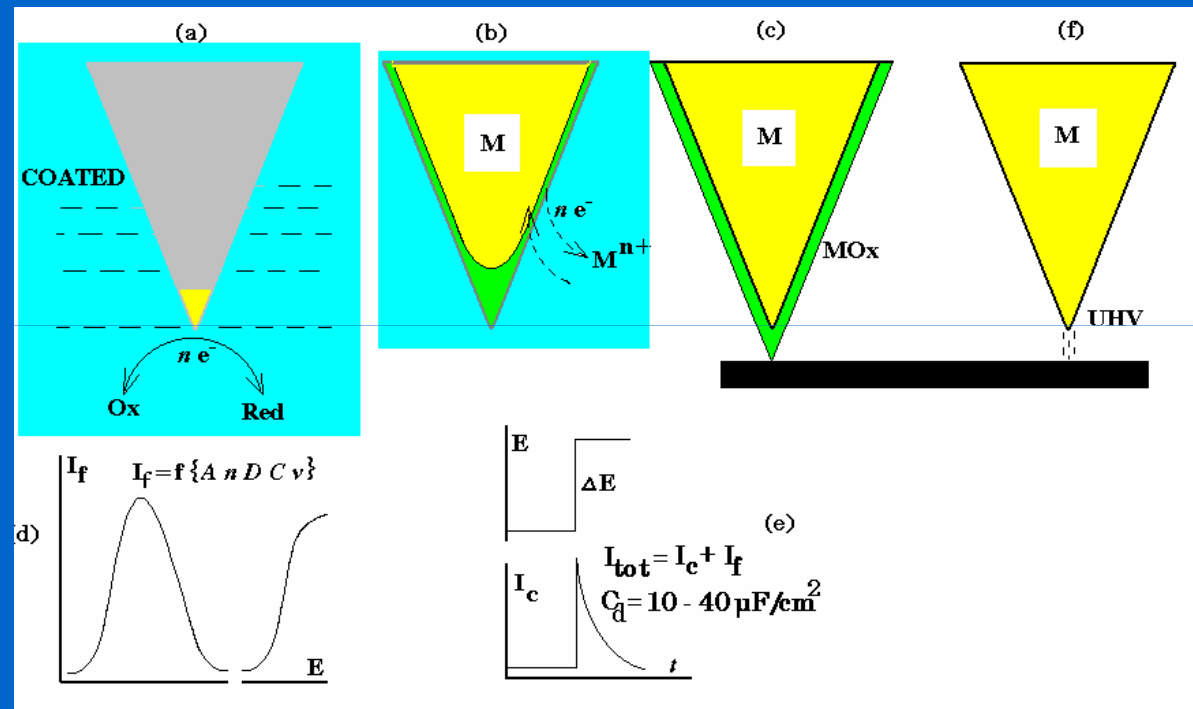
•
•
•

Elektrochemická tunelová mikroskopie EC STM

EC STM - uspořádání



Sonda EC STM

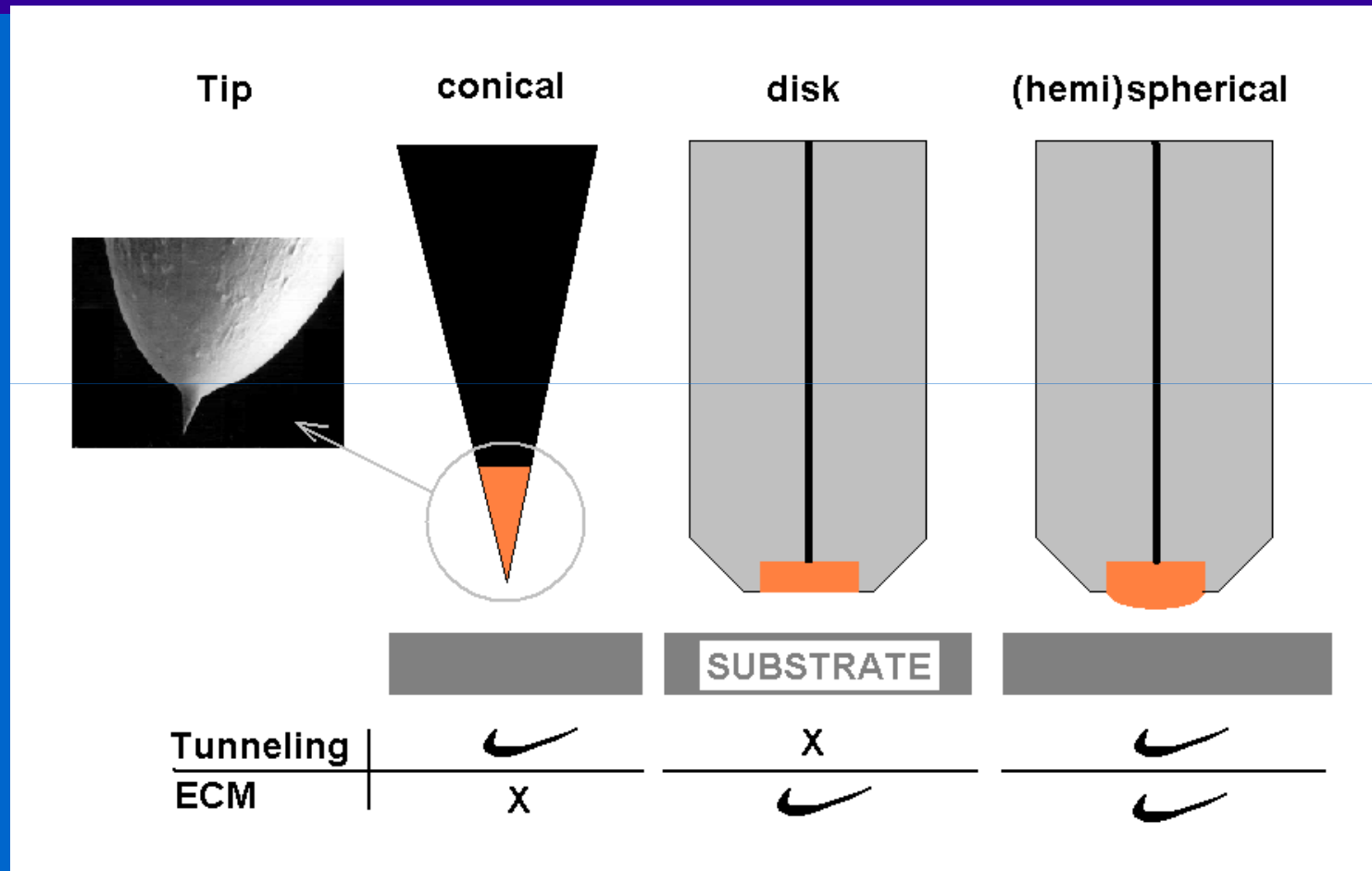


•
•
•

Elektrochemická mikroskopie SECM

•
•
•

Sonda ECM



$$I_{ss}$$

problematická
definice

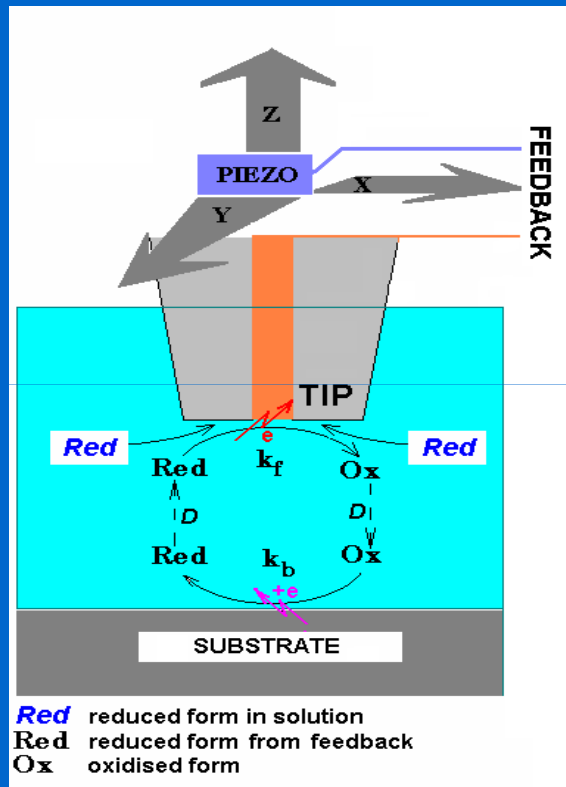
$$4nFD_R C_R r$$

$$nFAD_R C_R / r$$

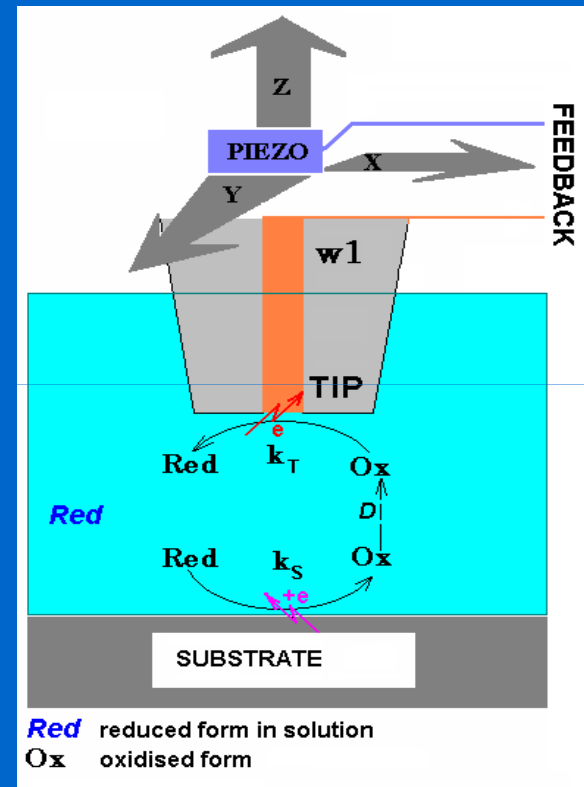
- ● ●

Režimy ECM

zpětnovazebný detekční



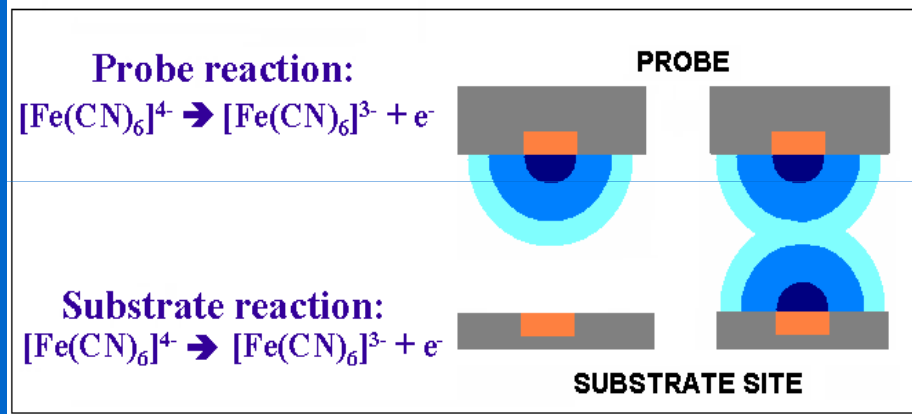
Hrot: generuje
Substrát: zpětná reakce
Detekce katalytické aktivity substrátu



Substrát: generuje
Hrot: detekuje

-
-
-

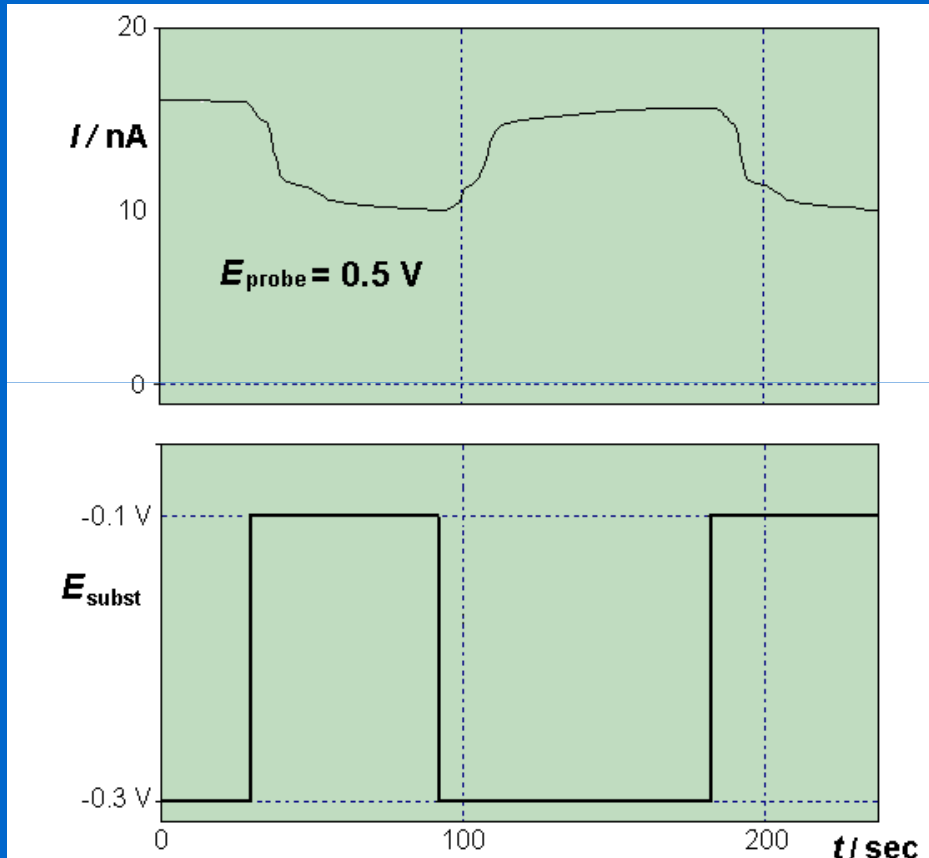
ECM Detekční režim: nespecifická reakce, detekce pozice aktivního místa



Konkurenční reakce na aktivním místě.

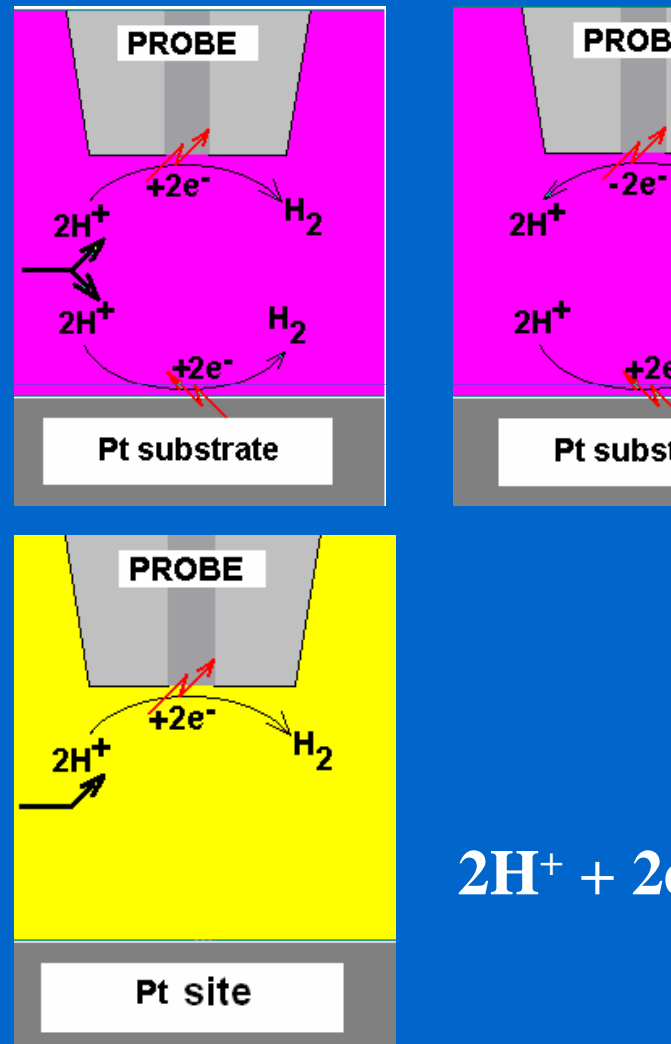
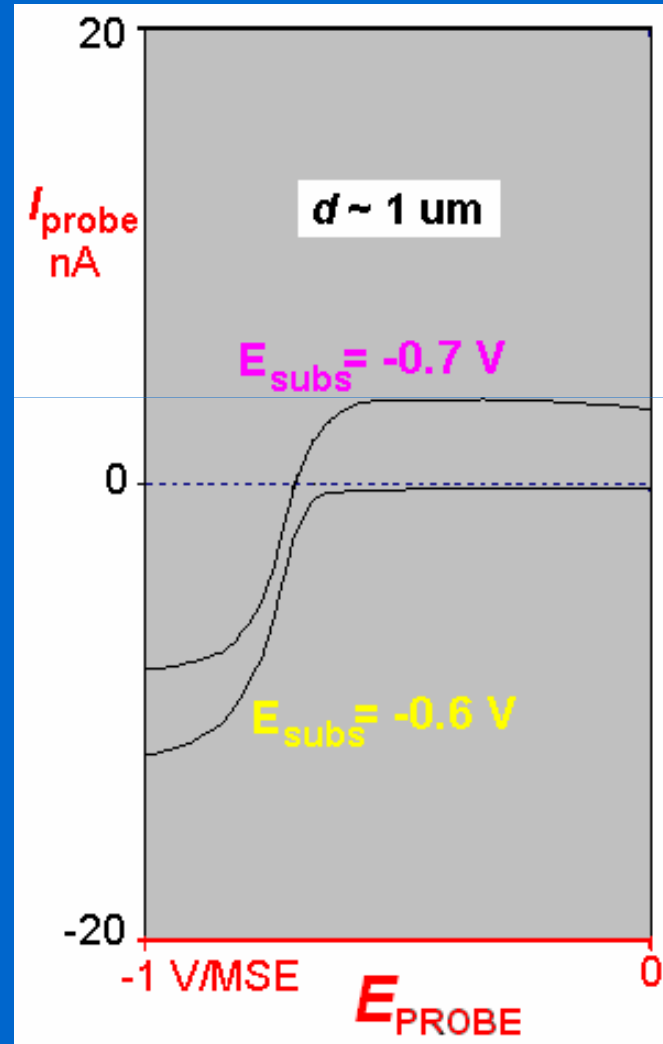
Vzdálenost sonda-aktivní místo

$$d \sim 10^2 \text{ nm}$$



-
-
-

ECM detekční režim: substrátově-specifická reakce – chemická identifikace aktivního místa



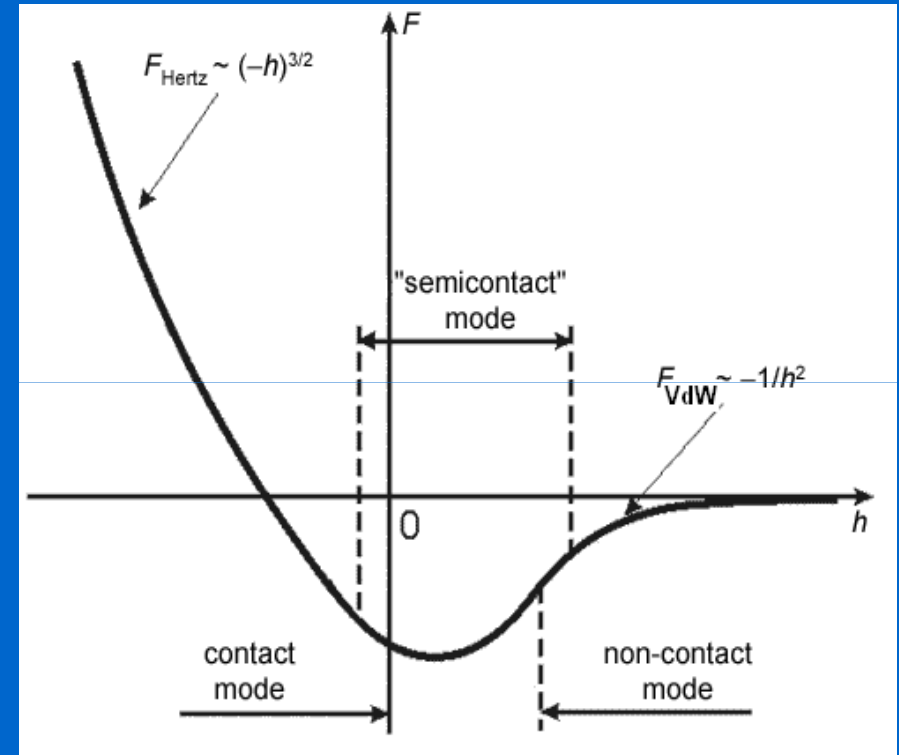
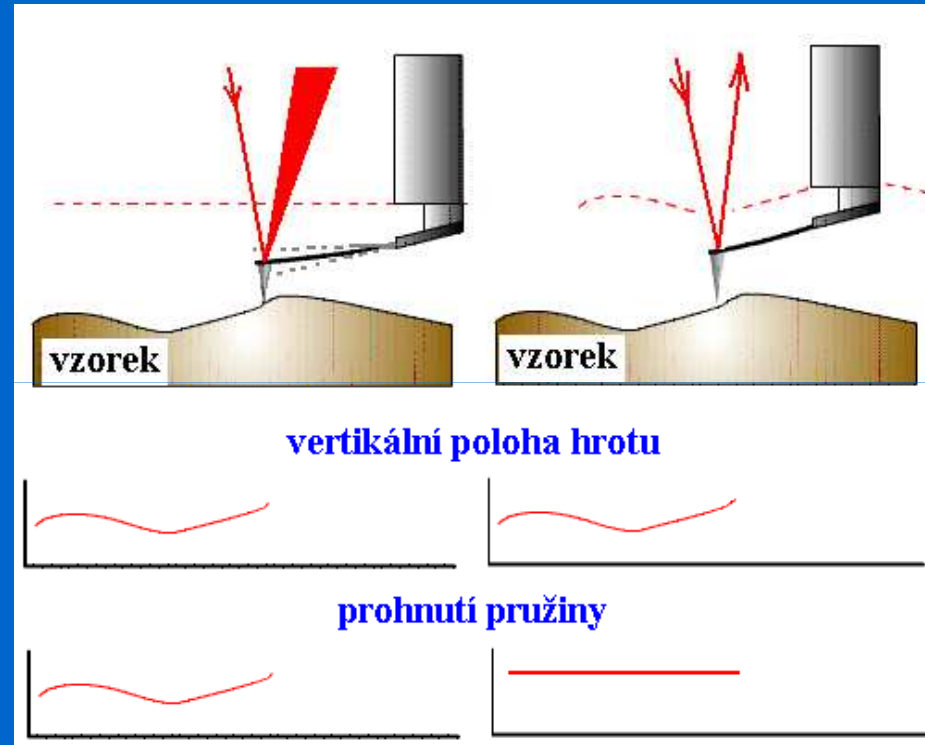
•
•
•

Mikroskopie atomárních sil

Atomic Force Microscopy



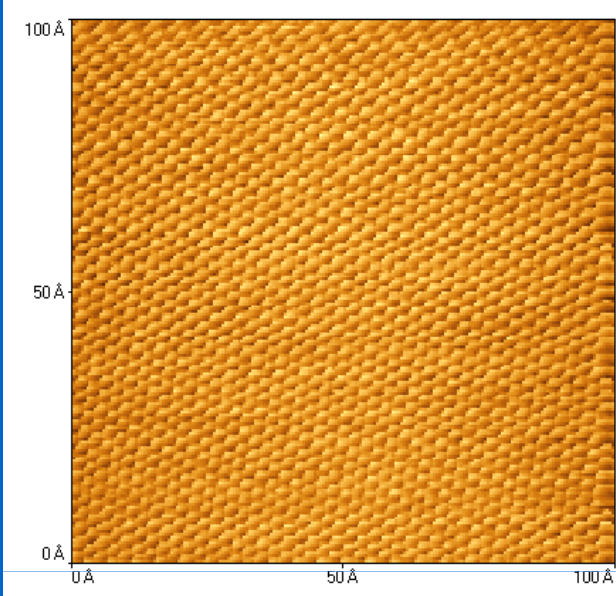
AFM



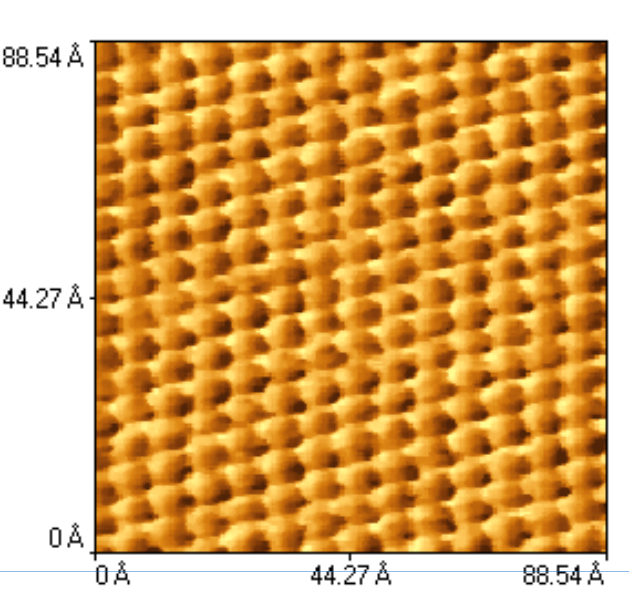
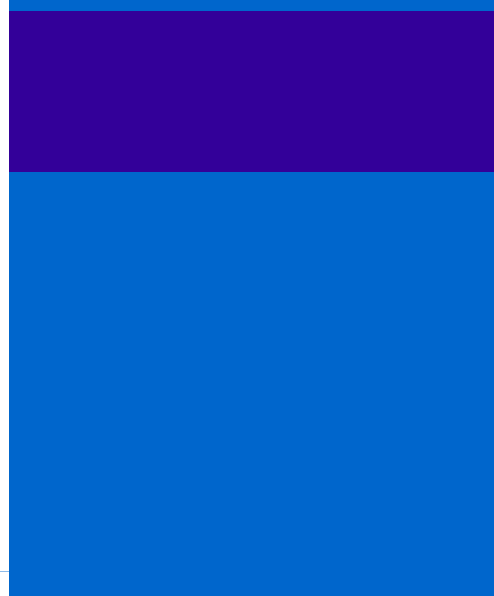
Hooke: $F(\text{repulse}) = -k x$
 $k \dots \text{konst.pružiny } 0,01-1 \text{ N/m}$

•
•
•

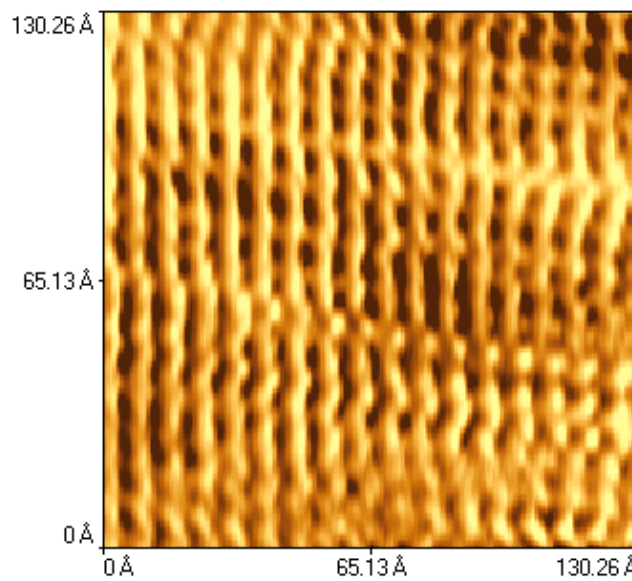
AFM kontaktní režim



grafit



slída

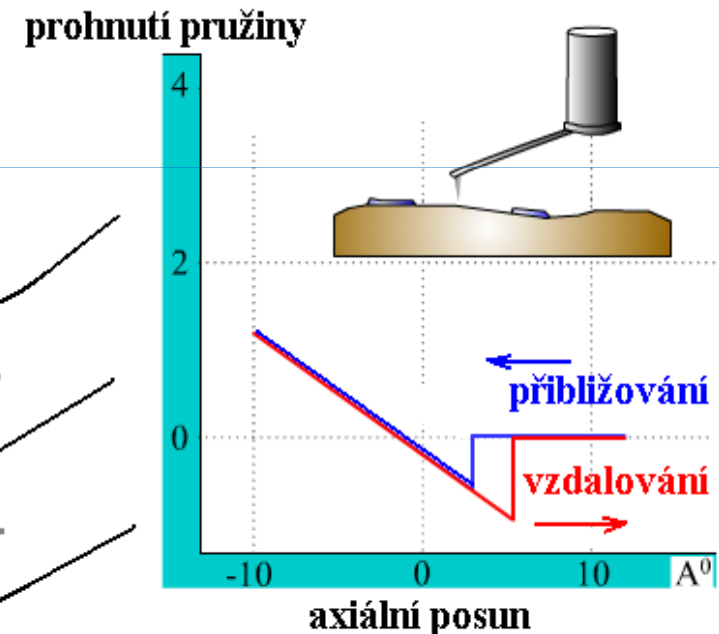
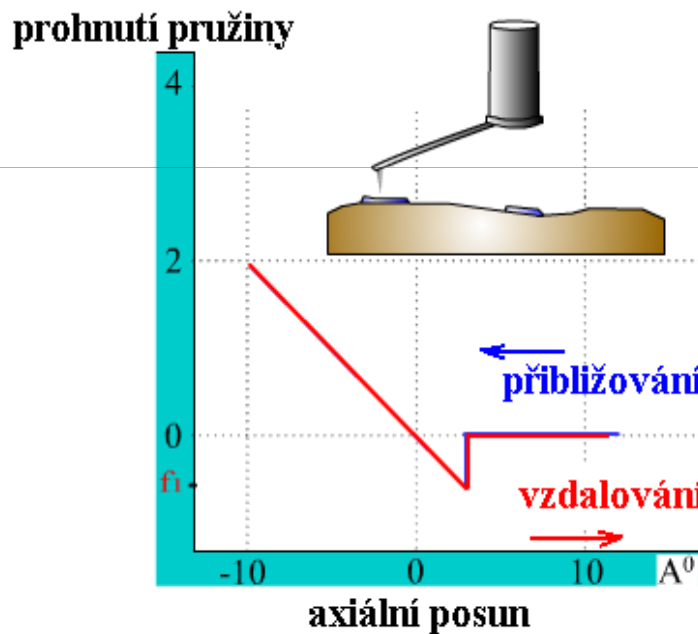


Orientované
molekuly Teflonu

-
-
-

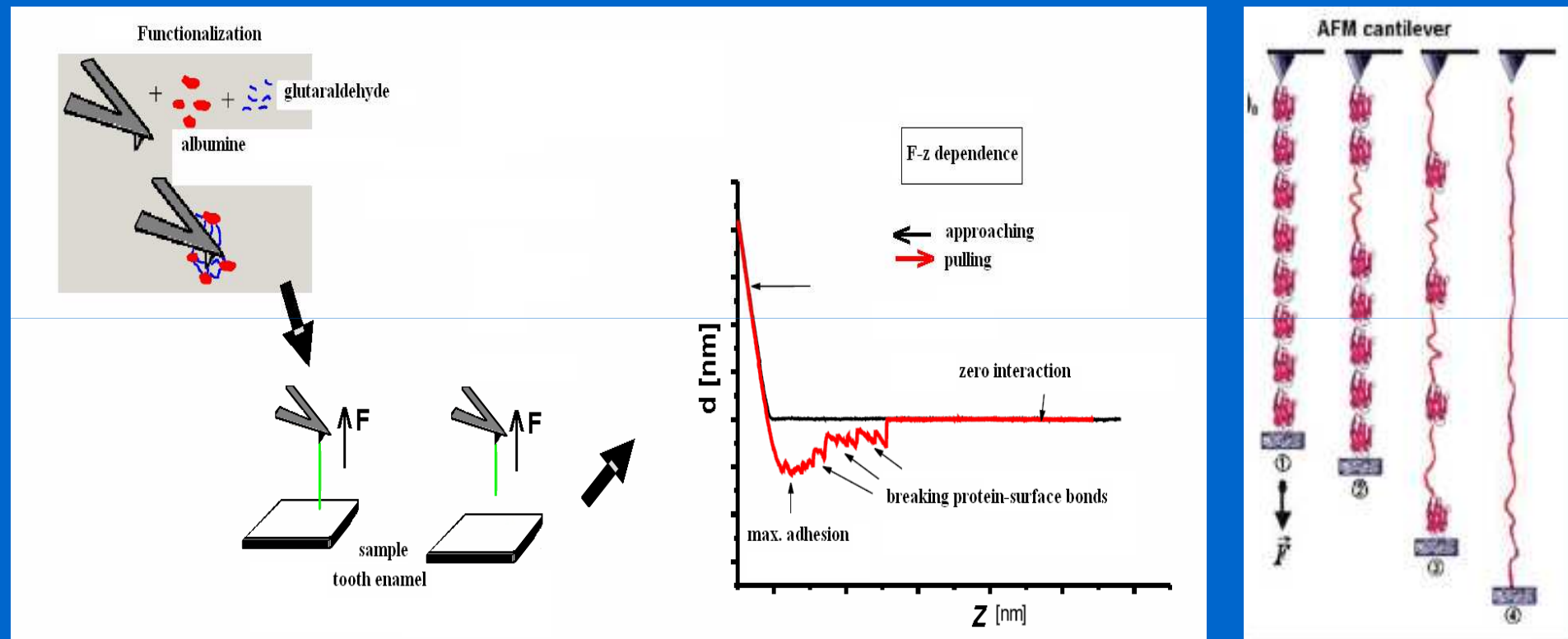
AFM - adhesivní síly

ADHESE



NT-MDT

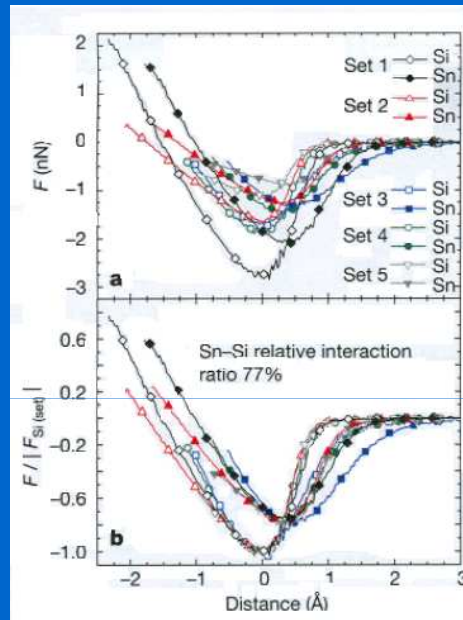
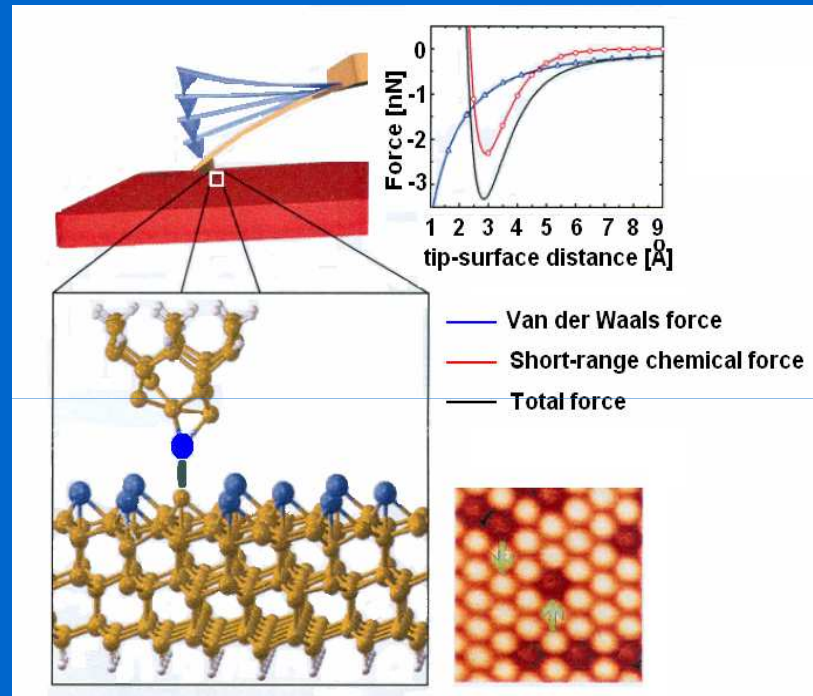
Adsorpce proteinů na zubní sklovině



N. Schwender, M. Mondon, K. Huber, M. Hannig, C. Ziegler Department of Physics, University of Kaiserslautern,
Department of Operative Dentistry and Periodontology, Saarland University

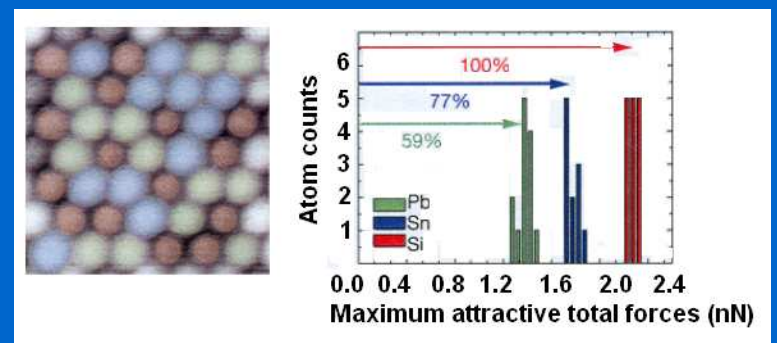
-
-
-

AFM: Chemická identifikace atomů



silová křivka
před normalizací

normalizovaná
na maximum interakce
substrát-hrot

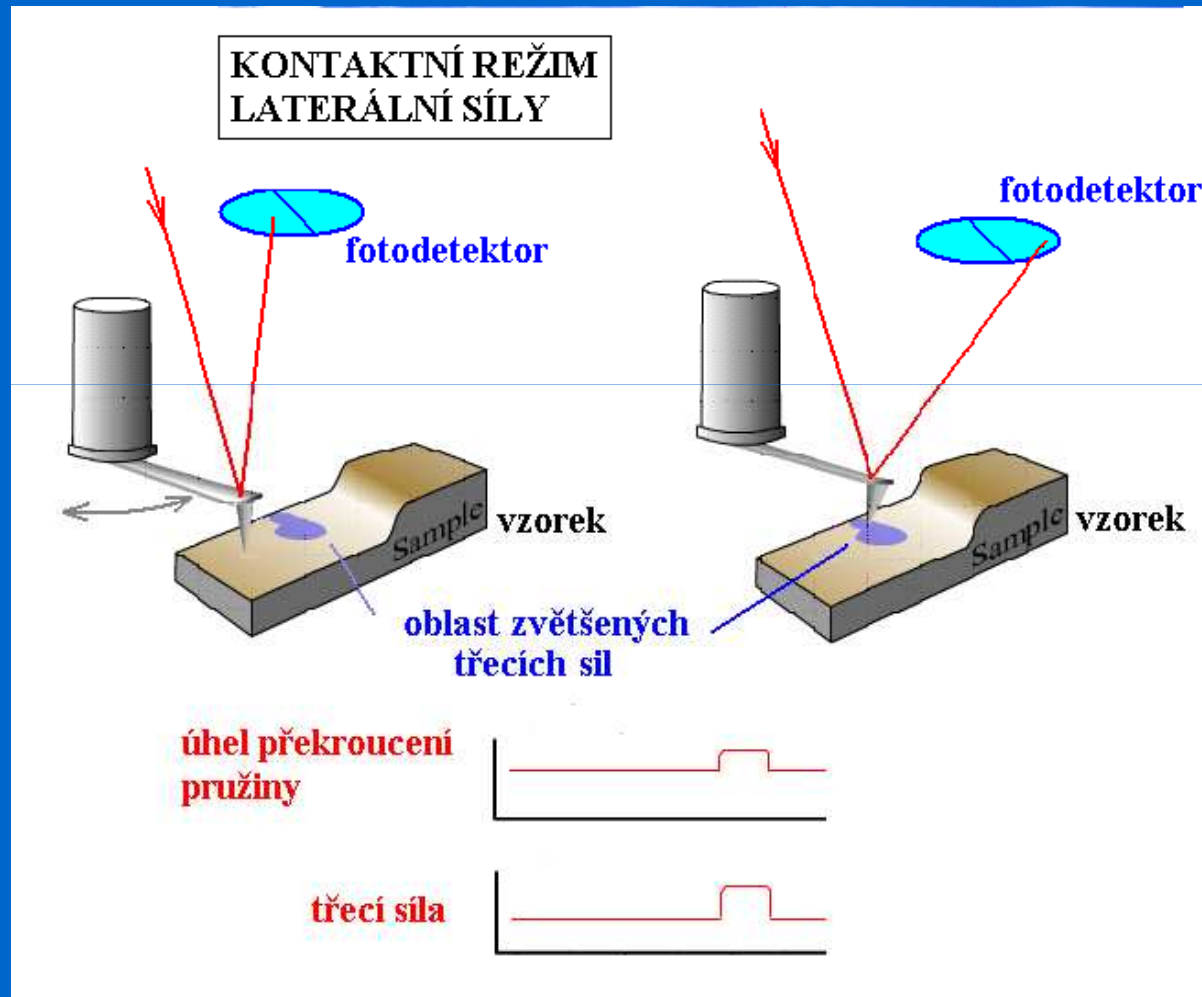


Dynamic Force Spectroscopy silová spektroskopie sil blízkého dosahu – chemické interakce

Yoshiaki Sugimoto, Pablo Pou, Masayuki Abe, Pavel Jelinek, Rubén Pérez, Seizo Morita & Óscar Custance:

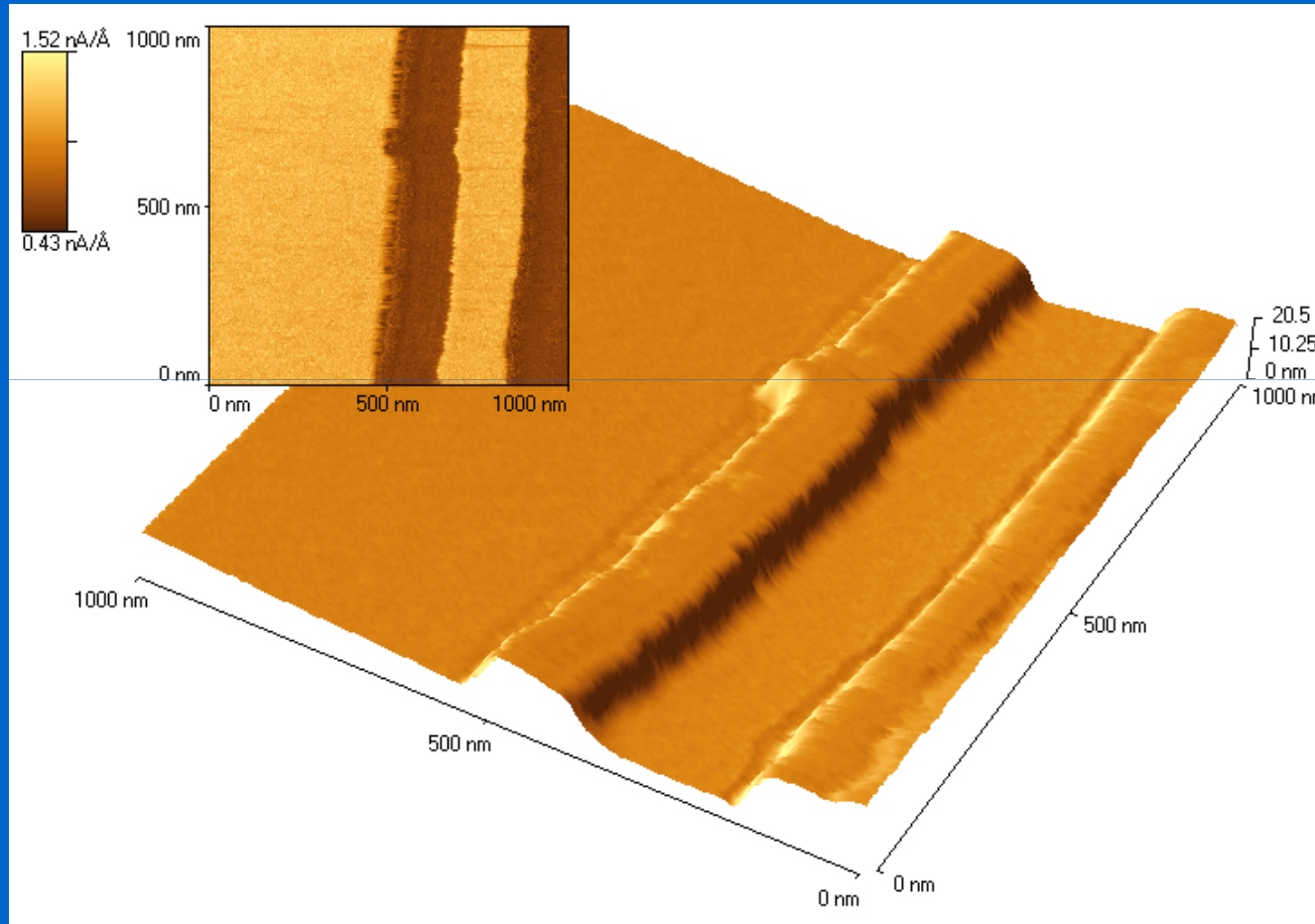
Nature Letters Vol. 446 March 2007

Mikroskopie laterálních sil (LFM)



-
-
-

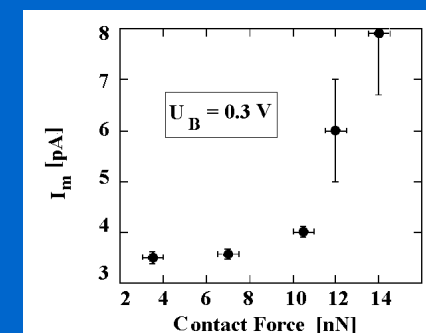
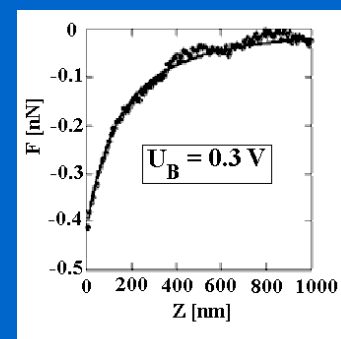
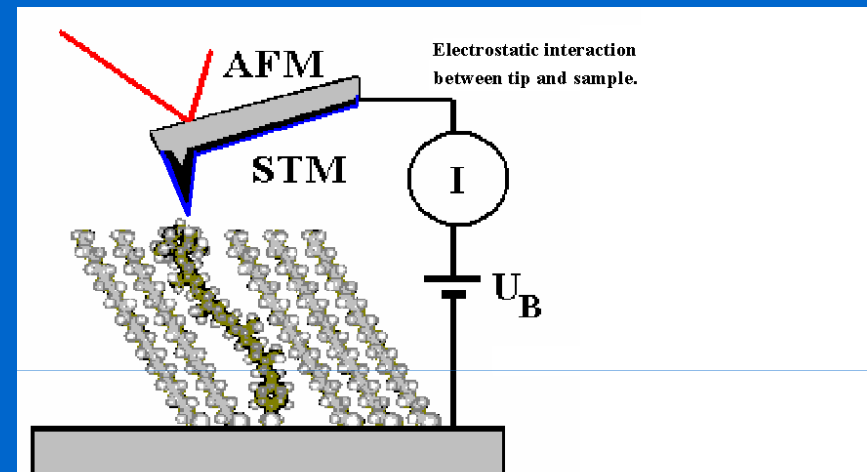
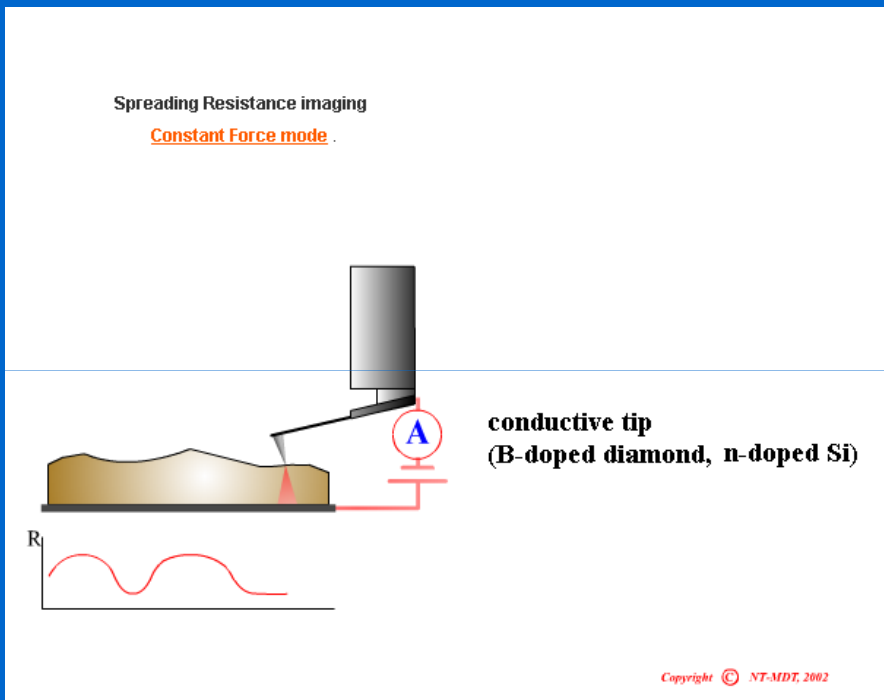
Mikroskopie laterálních sil (LFM)



Teflon na skle:

- AFM topografie
- rozložení frikčních sil (vlevo)

Vodivostní AFM

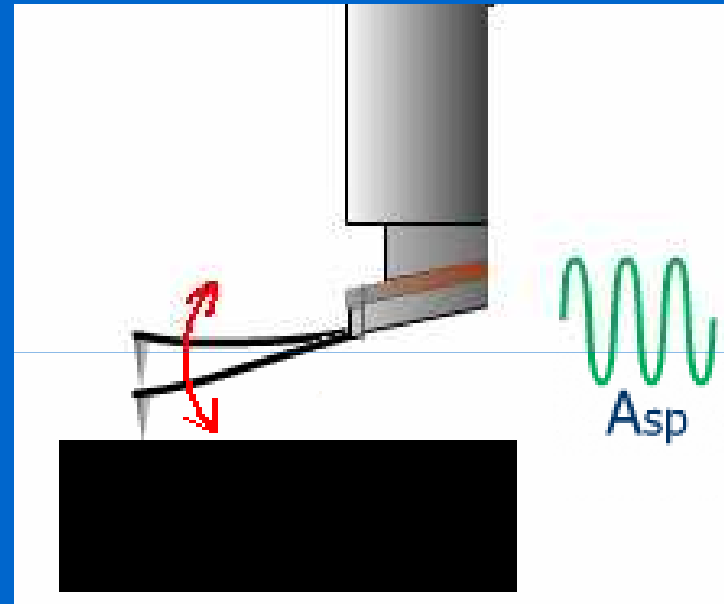


-
-
-

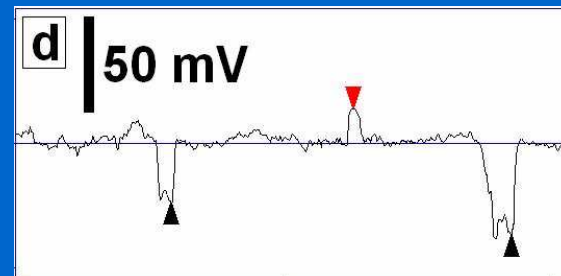
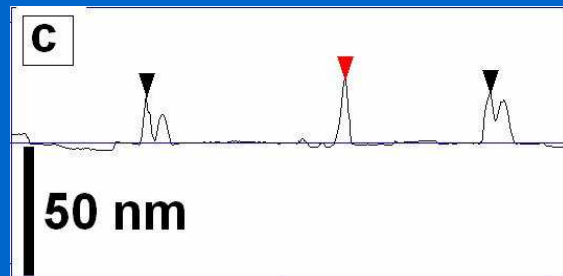
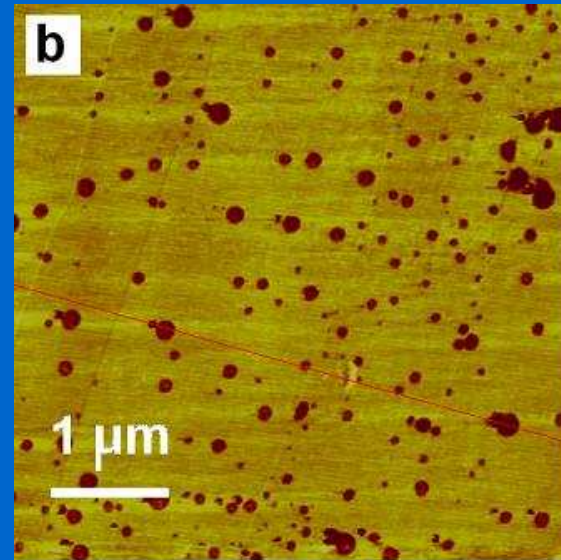
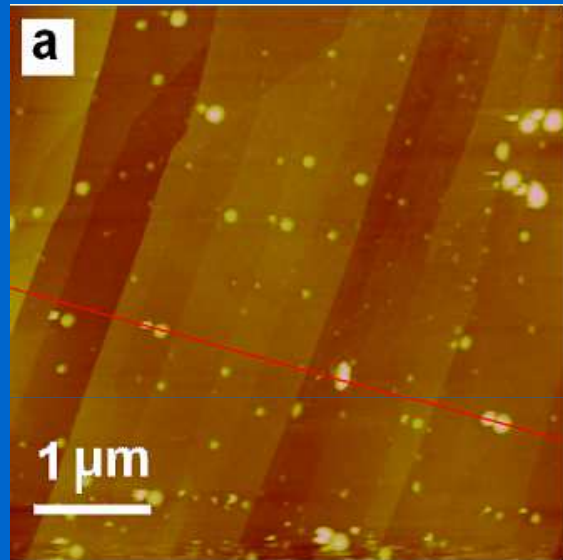
AFM semikontaktní režim

mechanický oscilátor
vstupní parametry:
 $f_{\text{rez}} A_{\text{sp}}$

výstupní parametry
 $A, \Delta f, \Delta\theta, d$ (*deflexe*)

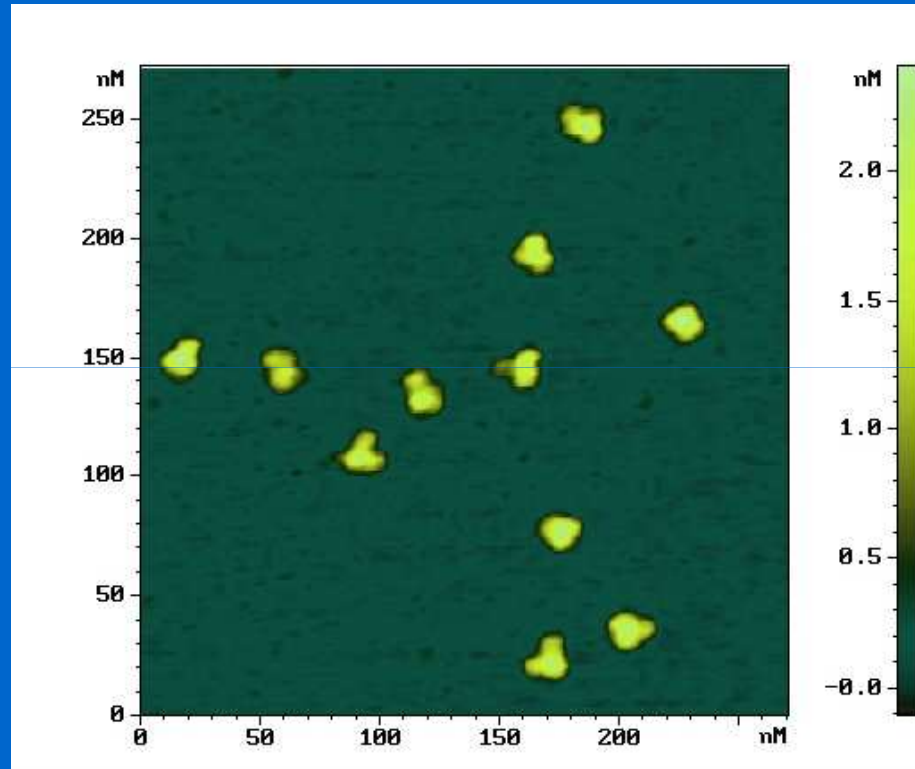
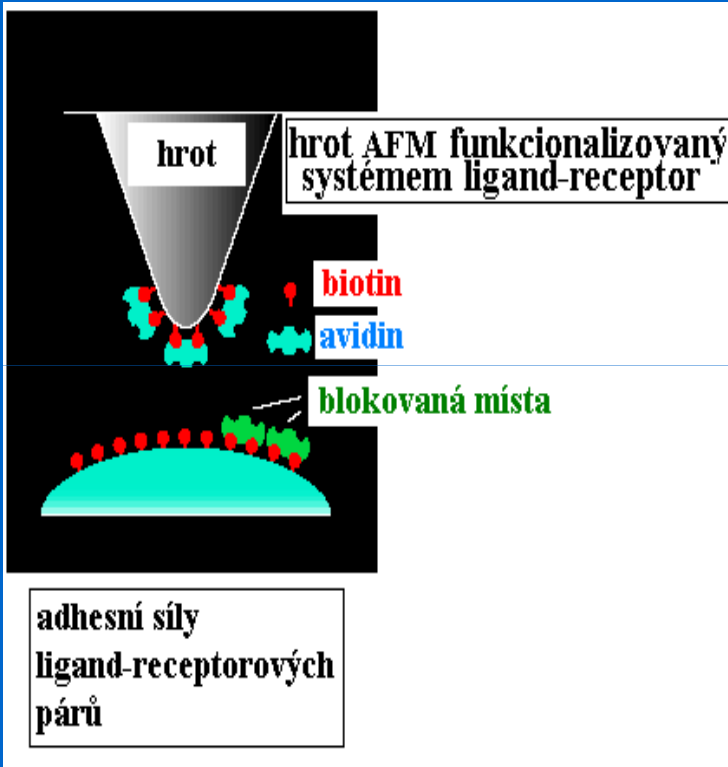


AFM – semikontaktní režim: deflexní signál



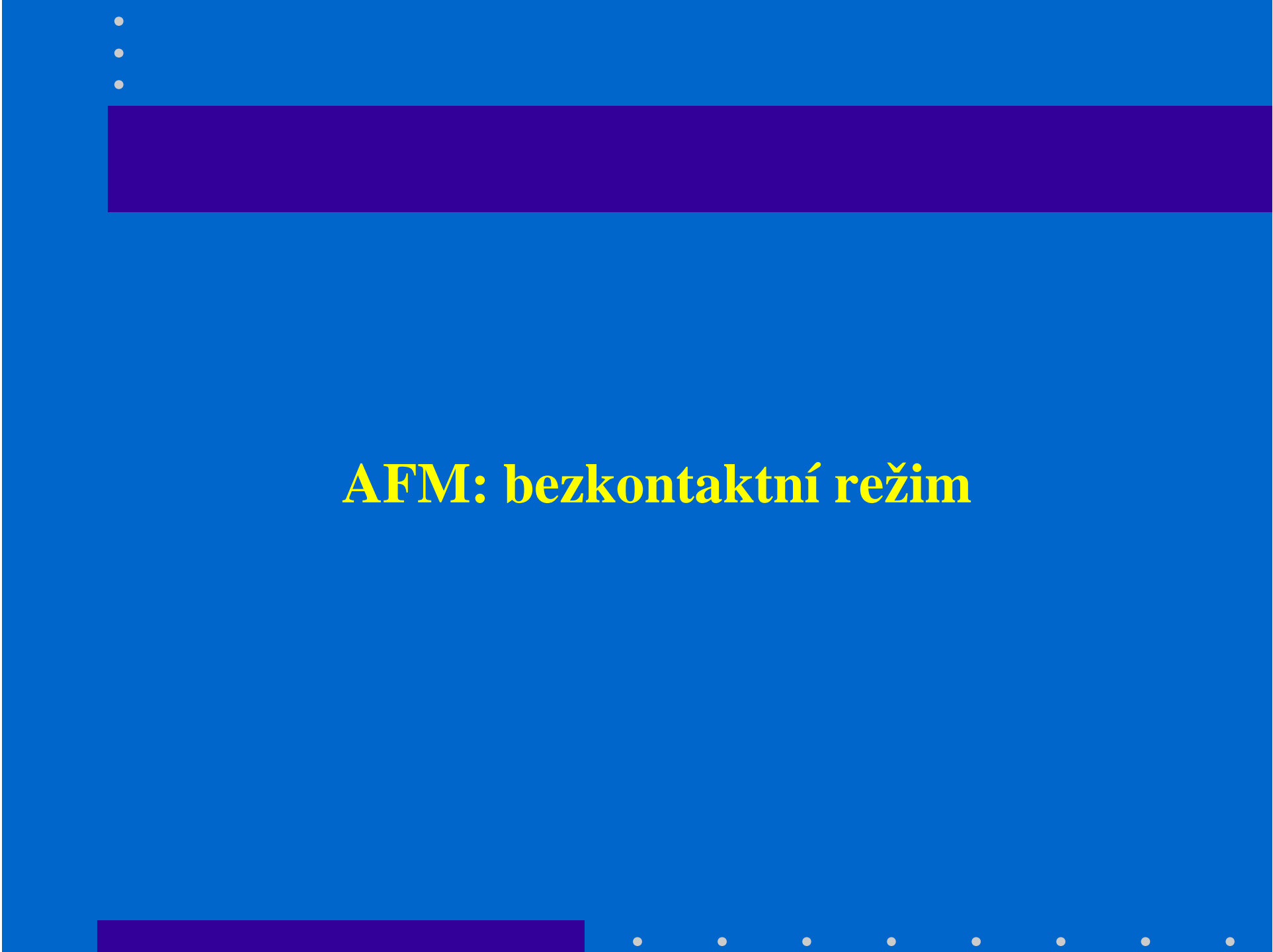
-
-
-

AFM s modifikovaným hrotom – vazebné interakce



Monoklonální antigen 1RK2 k A-řetězci ricinu (hrot-IgG1).
Viditelná je Y-struktura antigenu.
AFM-semikontaktní režim na vzduchu. [Veeco]

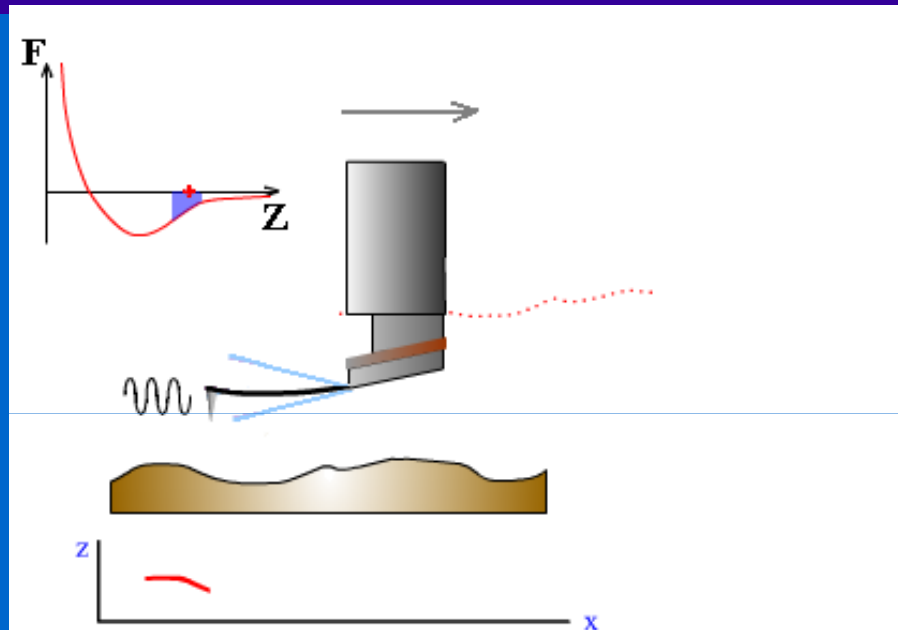
-
-
-
-
-
-
-
-



AFM: bezkontaktní režim

•
•
•

AFM: bezkontaktní režim

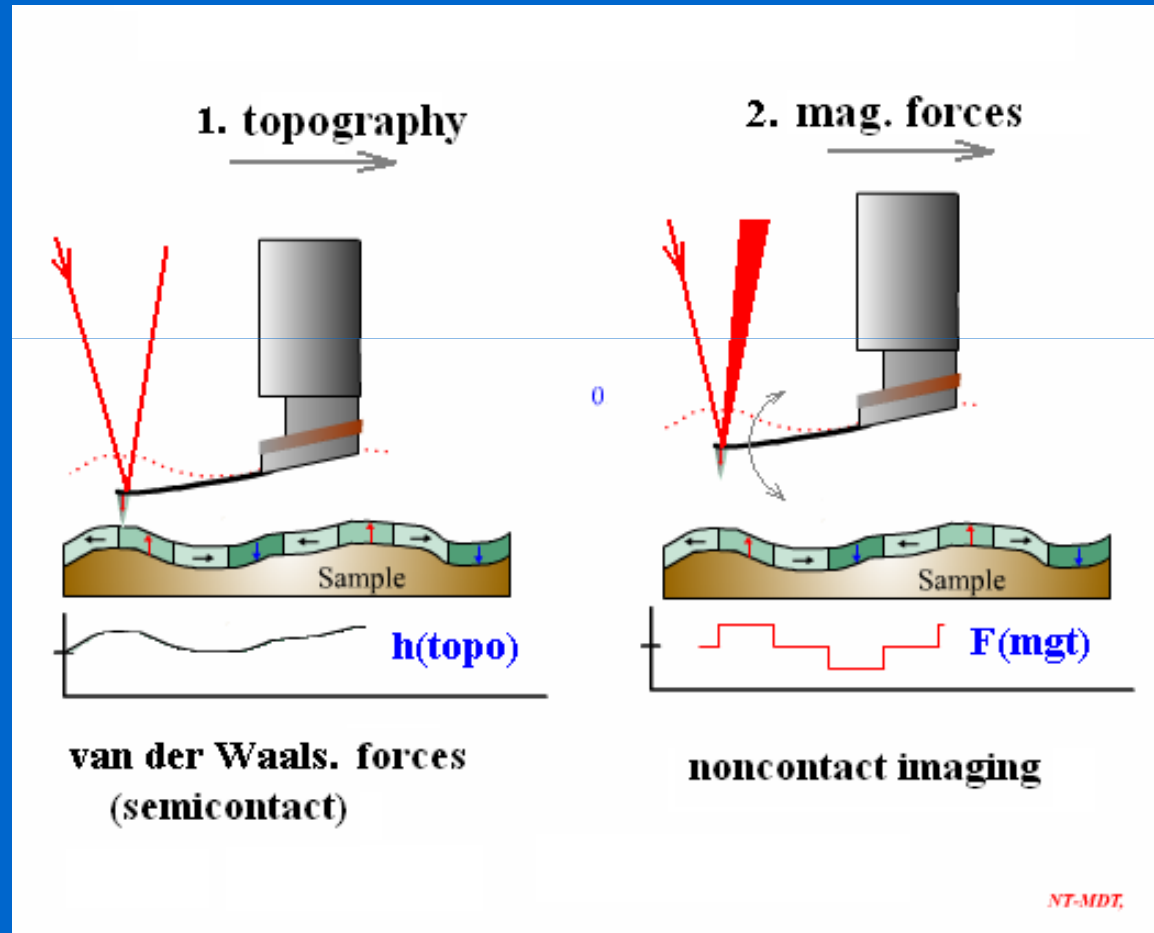


$$f_{\text{eff}} = f_0 (1 - F(z)/k_0)^{1/2}$$

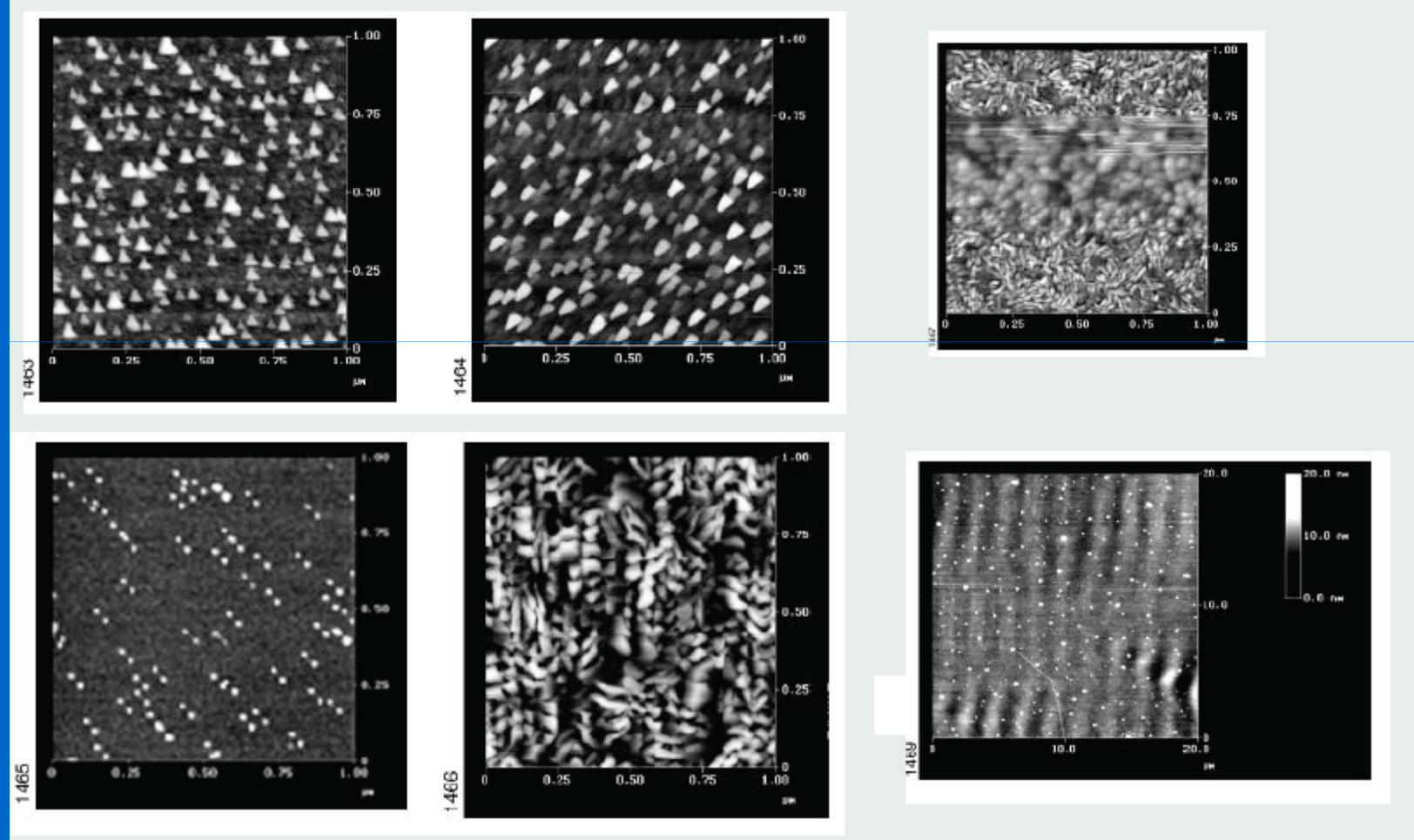
$df = f_0 - f_{\text{eff}}$ $F \dots \text{gradient}$

-
-
-

Bezkontaktní AFM: Mikroskopie magnetických sil Magnetic Force Microscopy



AFM: artefakty



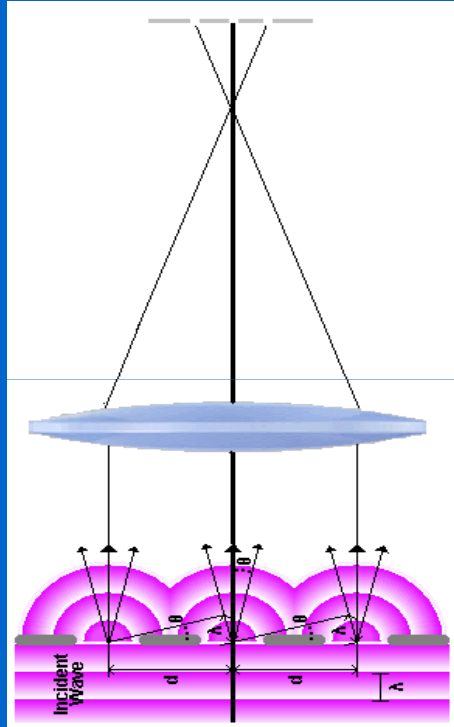
•
•
•

Mikroskopie (a spektroskopie) blízkého pole

Near-field Scanning Optical Microscopy/Spectroscopy
NSOM (SNOM)

-
-
-

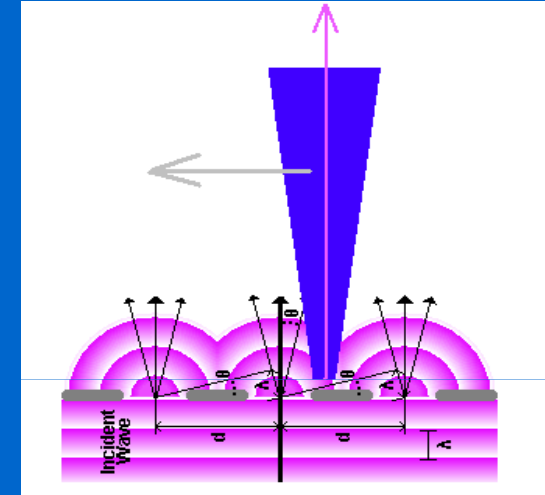
Mikroskopie vzdáleného pole



$$d = \lambda / (\theta \sin \alpha) \approx \lambda / N_a$$

d ... rozlišení (min. vzdálenost)
 λ ... vlnová délka světla
 θ ... index lomu prostředí
 α ... úhel paprsku (k opt. ose)
 N_a ... numerická apertura

Mikroskopie blízkého pole



konstrukce obrazu bod po bodu
 z fragmentu vlnoplochy
Rozlišení \Rightarrow apertura sondy,
 vzdálenost od povrchu vzorku

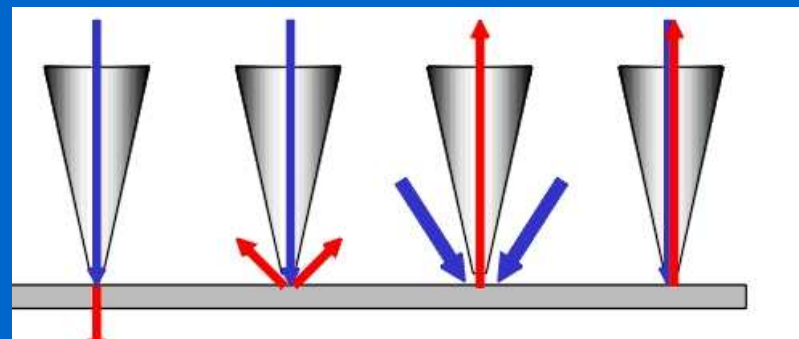
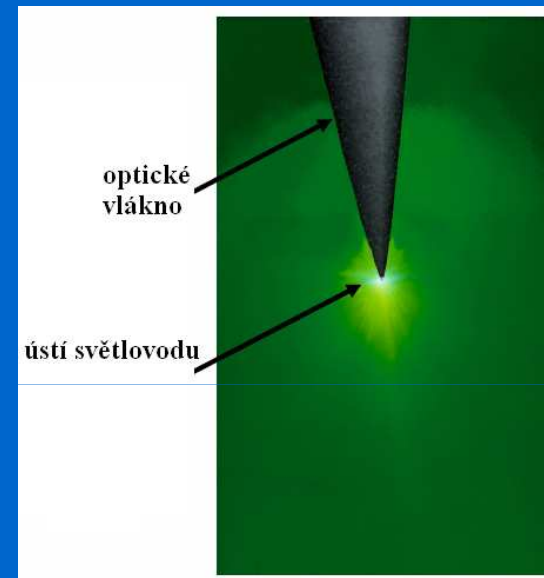
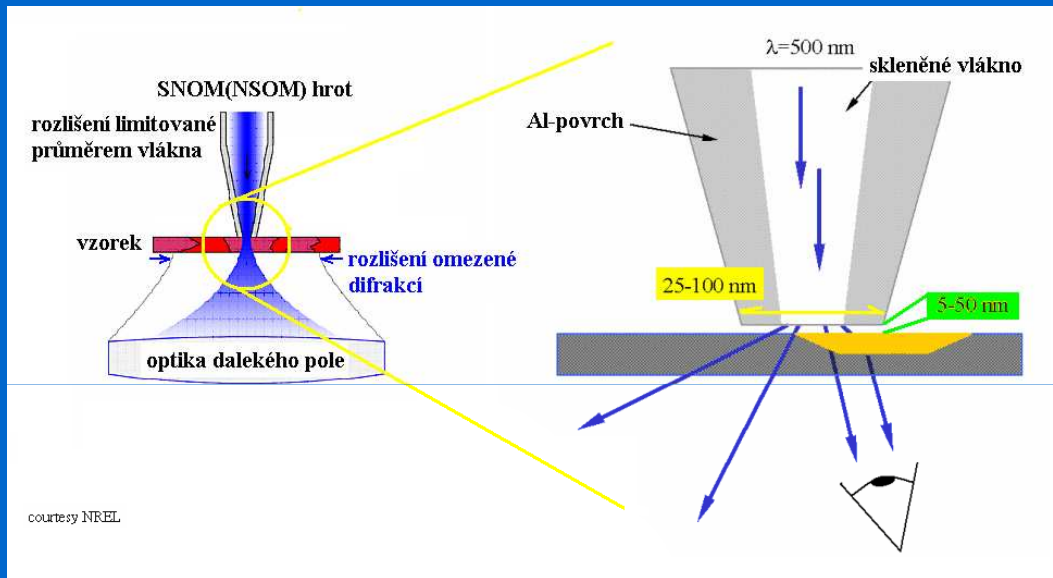
Rozlišení \Rightarrow

Abbeho, Rayleighovo kriterium
 index lomu, vstupní úhel,
 difrakční limit

-
-
-
-
-
-
-
-

-
-
-

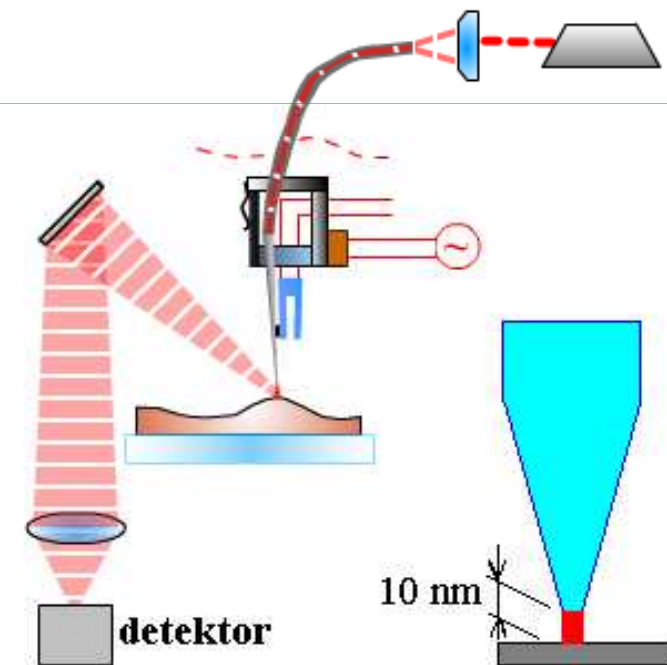
Mikroskopie a spektroskopie blízkého pole



-
-
-
-
-
-
-
-
-

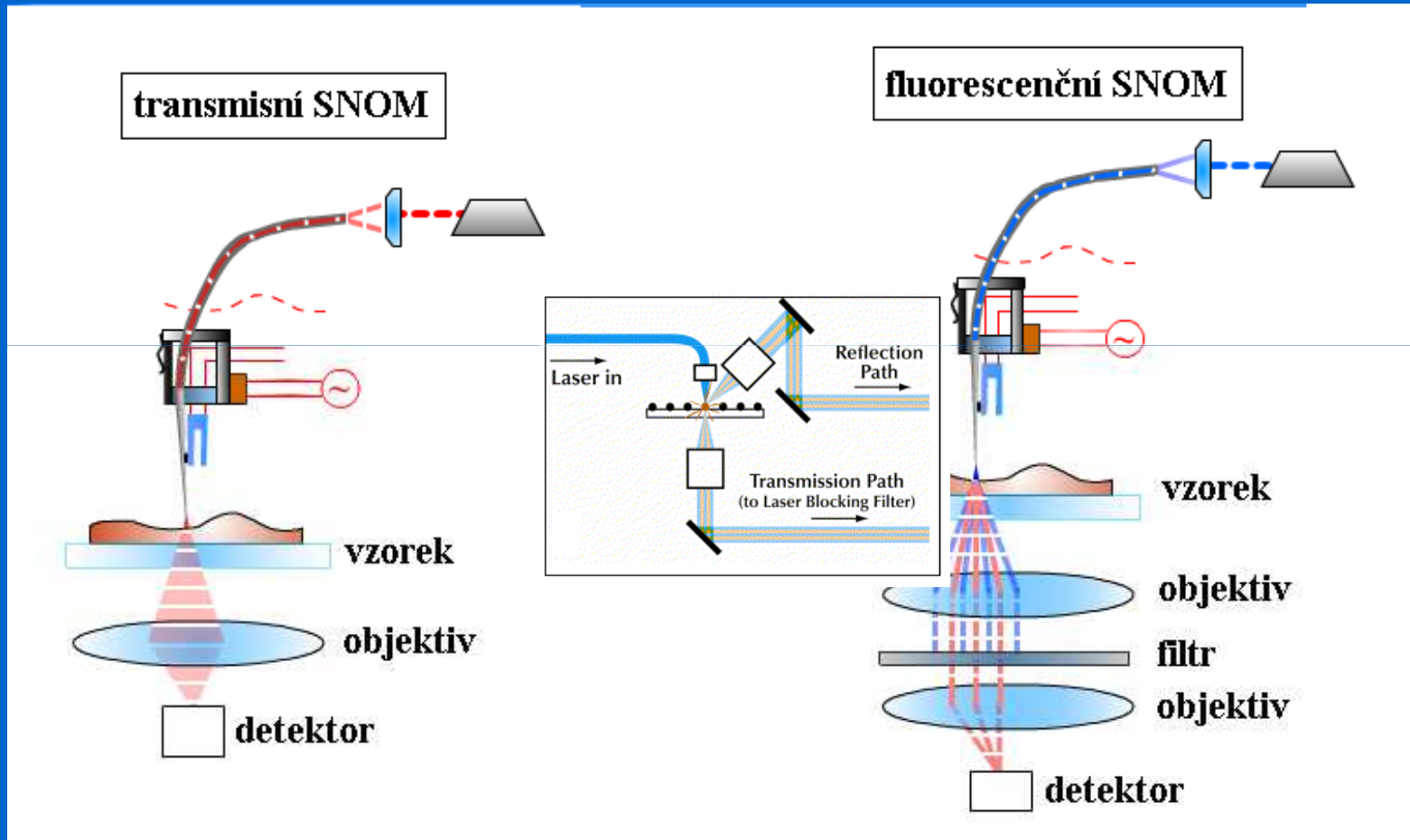
Reflexní SNOM

reflexní SNOM



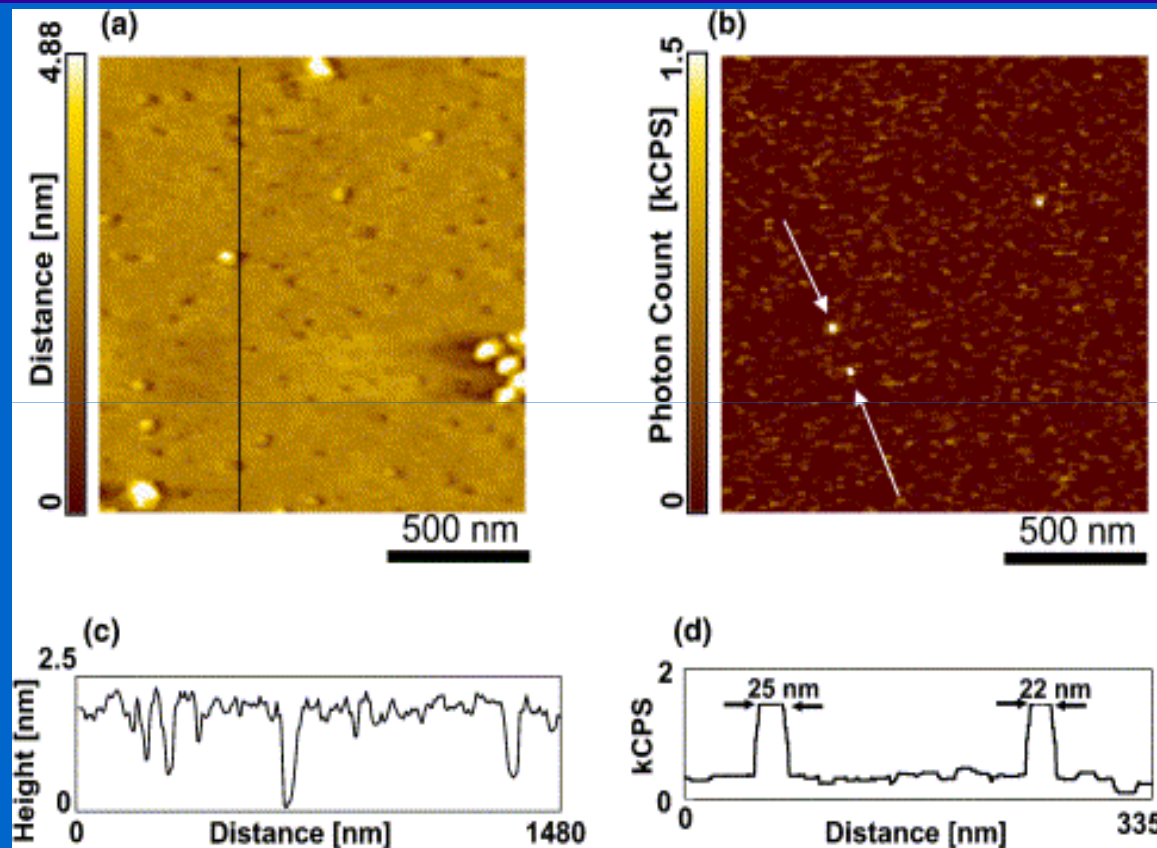
NT MDT

Transmisní a fluorescenční SNOM



AFM
Topografie

Fluorescenční SNOM
Zobrazení jednotlivých molekul



Alexa 532 (Exmax 532 nm/Emmax 554 nm, Molecular Probe Inc) v PMMA

H. Muramatsu: Surface Science , Vol. 549, 273, 2004

•
•
•

Plasmonová resonance (SPR)

Plasmonika

Povrchově zesílená Ramanova
spektroskopie

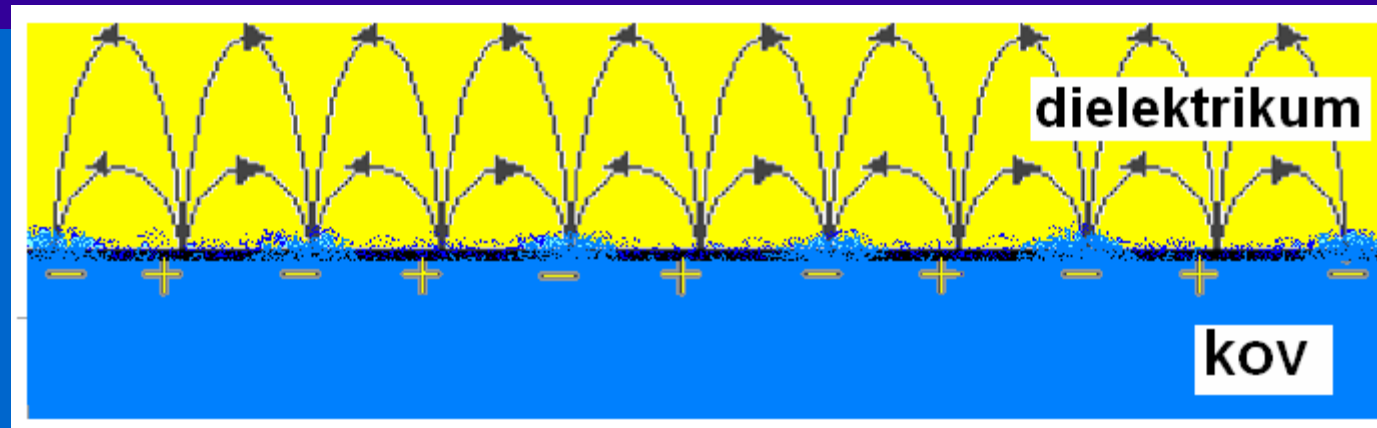
Surface Enhanced Raman Spectroscopy
SERS

Hrotom zesílená Ramanova spektroskopie
Tip Enhanced Raman Spectroscopy/Microscopy
TERS



•
•
•

Povrchové plasmany



*Povrchový Plasmon - polariton = koherentní „kolektivní“ oscilace elektronů
ve vodivostním pásu*

tvořen : **nábojem v kovu (e^-) a elmg. polem v obou fázích**

- projevy: spojené oscilace e-hustot a elmg. pole
(= „hladiny“ oscilací elektronových hustot)
- Intenzita pole exponenciálně klesá se vzdáleností od povrchu kovové fáze
=> lokalizace v mezifází - šíří se jako podélné vlny na mezifází

Elektromagnetické stavy vázané k rozhraní kov/dielektrikum

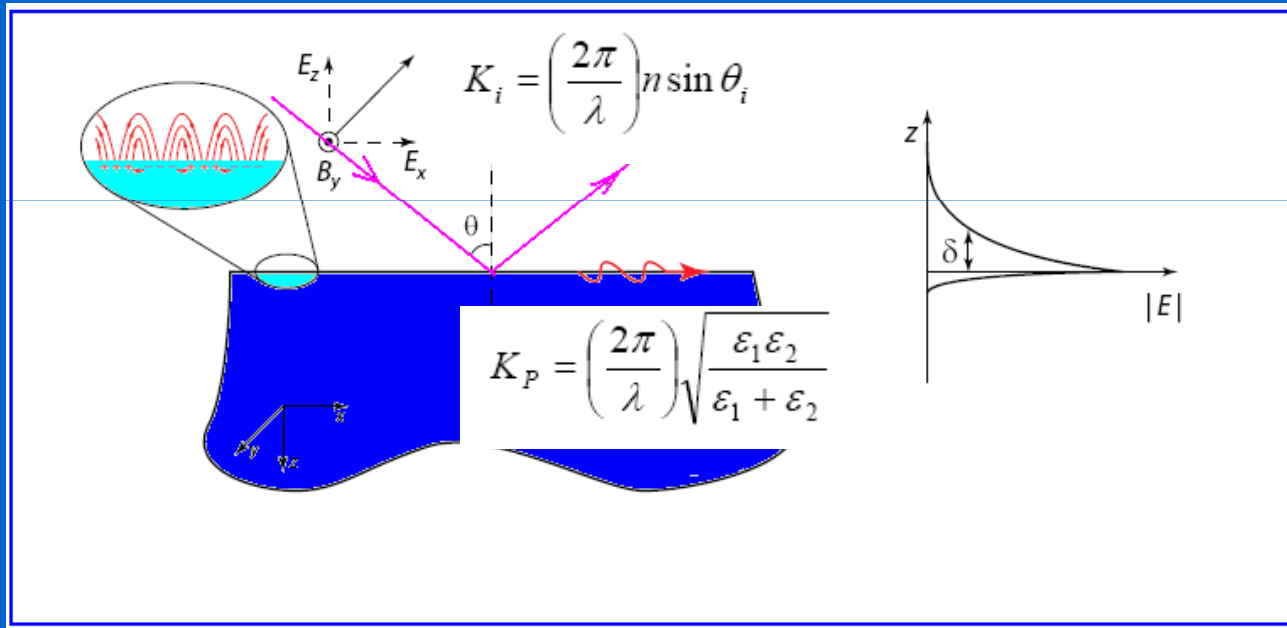
Vlastnosti plasmonu závisí na složení mezifází (= světlovod, detekce chem. vazeb, nanostruktur)

• • • • • • •

-
-
-

Interakce s elmg. polem: SPR resonance

E_p elmg. pole: el. složka polarizovaná paralelně s mezifázím,
 $\theta_{\text{dopad}} > \theta_{\text{odraz}}$. K_i, K_p vlnové vektory dopadajícího pole a plasmonu.



Resonanční podmínka:

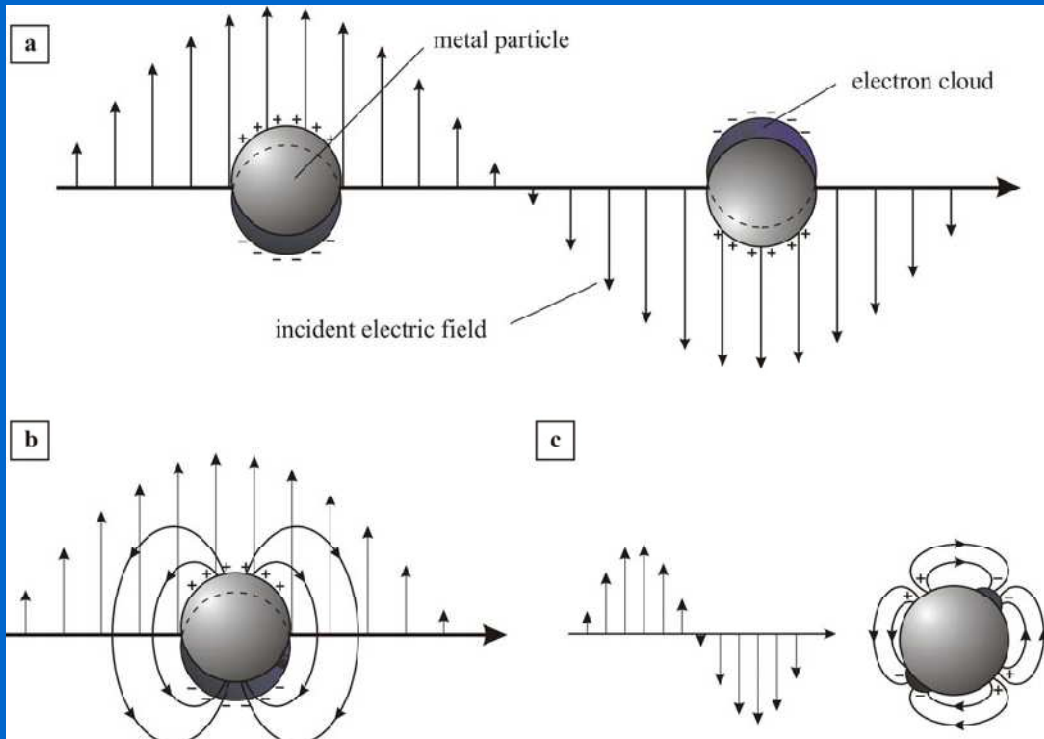
$$K_i = K_p$$

absorpční maximum E_p ($\epsilon_{1,2}$..dielektr.permitivity kovu a prostředí)

-
-
-
-
-
-
-
-
-

-
-
-

Interakce s elmg. polem: Nanočásticové plasmony



Nanočásticový plasmon:
Min. rozměr částic: > 2 nm
=> neexistují lokalizované energetické hladiny (pás/oblak)

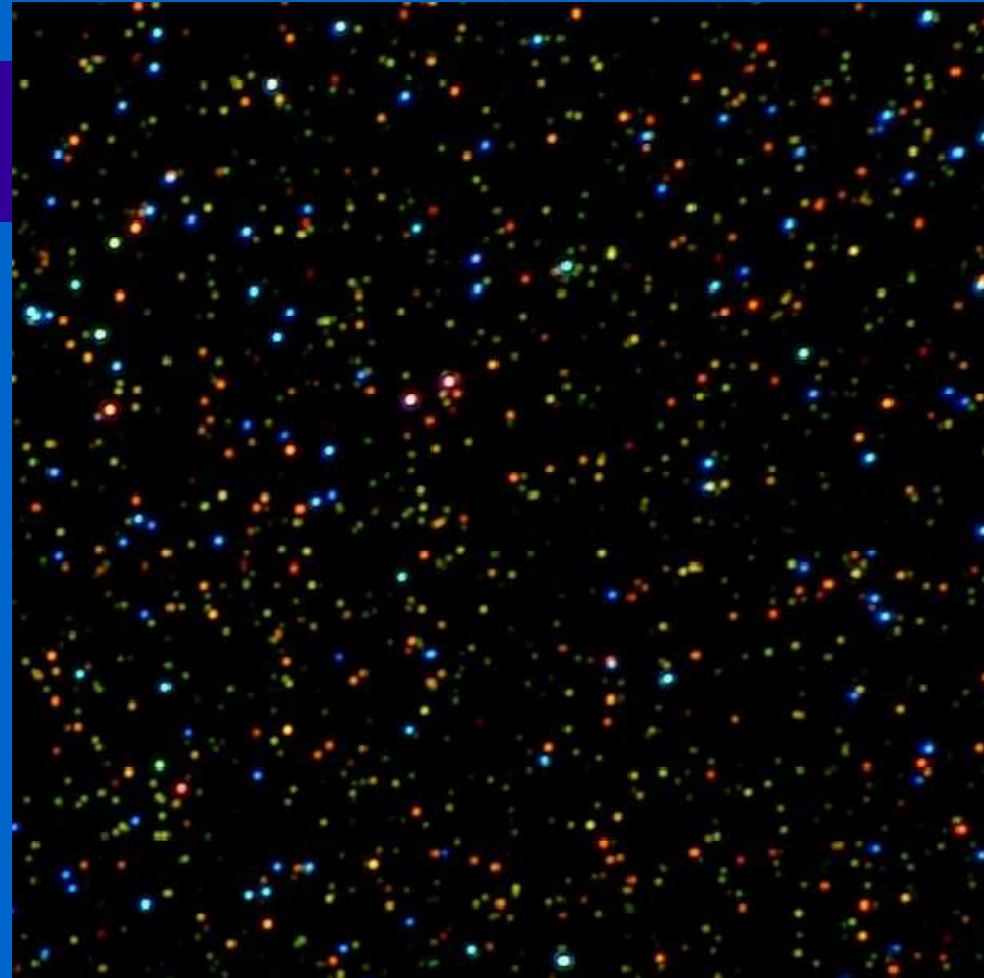
$$\omega_P \sim \sqrt{(n e^2 / \epsilon_0 m^*)}$$

ω_P plasmonová frekvence
 m^* ef.hmota vodiv.e-
 ϵ_0 permitivita prostředí

Interakce se světlem => excitace oscilací e-oblaku => polariton (el.polarizace)
Interakce malé nanočástice se světlem => dipólová radiace (a, b) emise $h\nu$
větší nanočástice => kvadrupólová radiace (c)

-
-
-
-
-
-
-
-

•
•
•



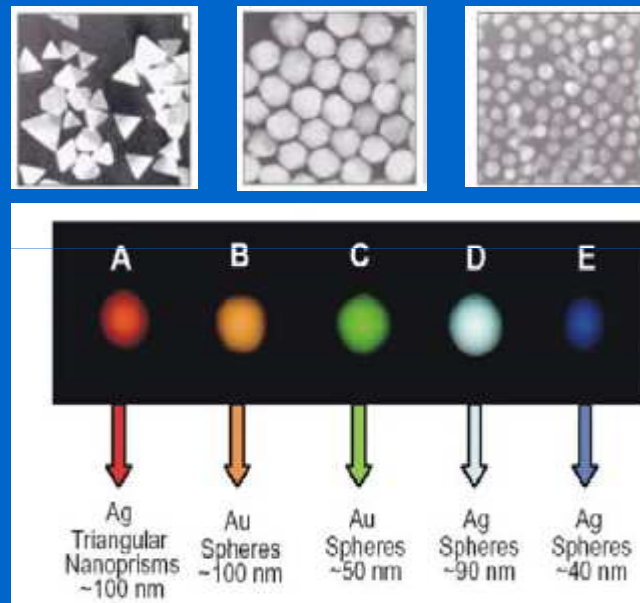
Optický mikroskopický snímek (temné pole) světla rozptýleného nanočásticemi
Ag (nanosféry) **Au (nanosféry)** **nanotyčky**

C. Soennischen: *Plasmons in metal nanostructures*. Disertace. L.-M. Universitat Mnichov 2001

• • • • • • • •



Plasmonová rezonanční vlny



Ag, Au nanočástice



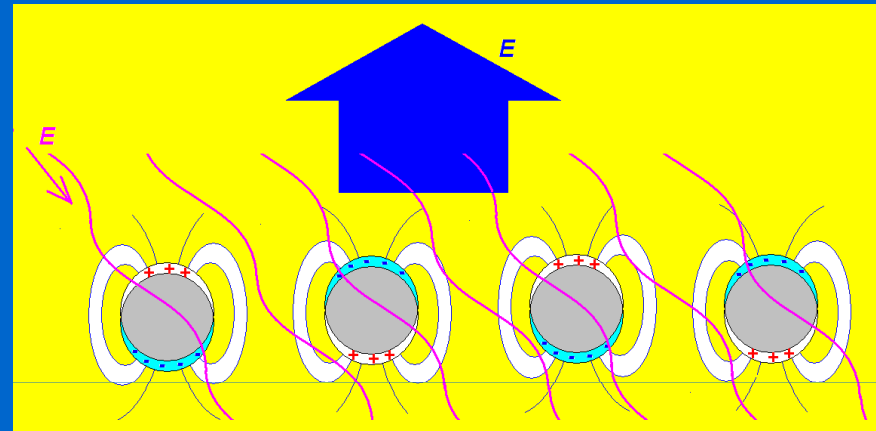
70% Ag + 30% Au

*The Lycurgus Cup, Roman (4th century AD), British Museum (www.thebritishmuseum.ac.uk)
R. Jin, Y. Cao, C. A. Mirkin, K. L. Kelly, G. C. Schatz and J. G. Zheng, Science 294, 1901 (2001).*

-
-
-

Využití SPR

$$\lambda_E \gg d$$



- zvětšení citlivosti spektroskopických technik
vč. fluorescence, Ramanovy spektroskopie ...
(povrchové zesílení Ramanovy spektroskopie $\sim 10^{14} - 10^{15}x$ umožňuje identifikaci jediné molekuly)
- posun resonance v důsledku adsorpce molekul na mezifází
- měření tloušťky adsorbovaných vrstev, vazebné konstanty ligandů...

-
-
-
-
-
-
-
-
-

-
-
-

Povrchově zesílená Ramanova spektroskopie Surface Enhanced Raman Spectroscopy

Max. zesílení - dopadající i rozptýlené světlo - (Raman)
jen pro frekvence s minimálním posunem
(velmi posunuté nemohou být obě v rezonanci => menší zesílení)

kombinuje výhody

fluorescence => vysoký světelný zisk

+

Ramanova spektroskopie => strukturní informace

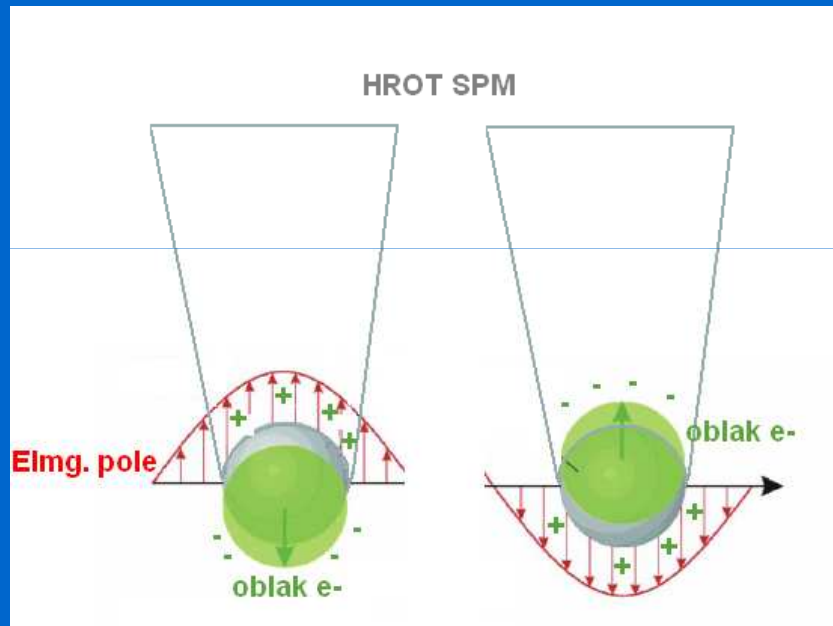
- nanostruktury **Au, Ag, Cu** (NIR-Vis) nanostruktur
- „Hot-Spots“ (signál není reprezentativní vzhledem k povrchu)



-
-
-

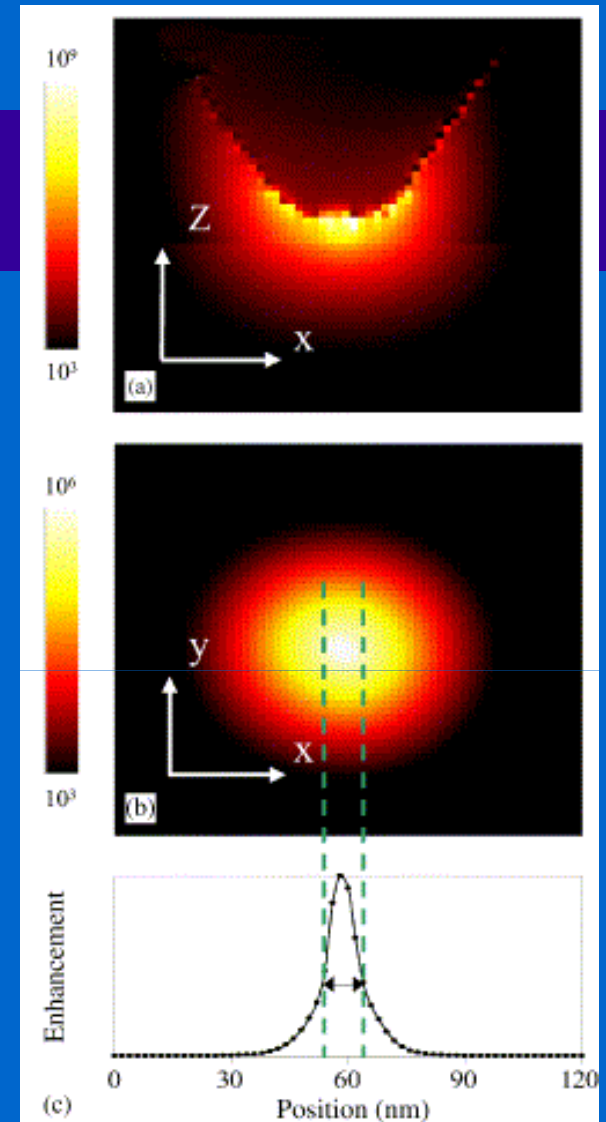
Hrotom zesílená Ramanova spektroskopie

Tip Enhanced Raman Spectroscopy



Od nanočisticové plasmonové resonance (SE) k hrotovému zesílení (TE)

P. Hewageegana, M. I. Stockman: Plasmonics enhancing nanoantennas
Infrared Physics & Technology 50 (2007) 177–181



Řez oblastí TER(S) ($A = I_{RT}/I_{R0}$)
 $\lambda = 541 \text{ nm}$, $d_{T-S} = 4 \text{ nm}$

-
-
-

význam TERS

- + **Plasmonová resonance lokalizovaná na povrchu kovového hrotu**
(anténa, max.intenzita el.pole na hrotu) => hrot funguje jako téměř ideální bodový zdroj světla.
- + **Mobilní „hot spot“** – snímání reprezentativního signálu z celého povrchu vzorku
- + Proces může být laděn (z/do resonance) vkládáním napětí na hrot
- + umožňuje práci *in situ*
- + zesílení ~ 10^7
- Vývojové stadium, neúplně definované podmínky:
vliv tvaru hrotu, složení hrotu, elektrolytu...

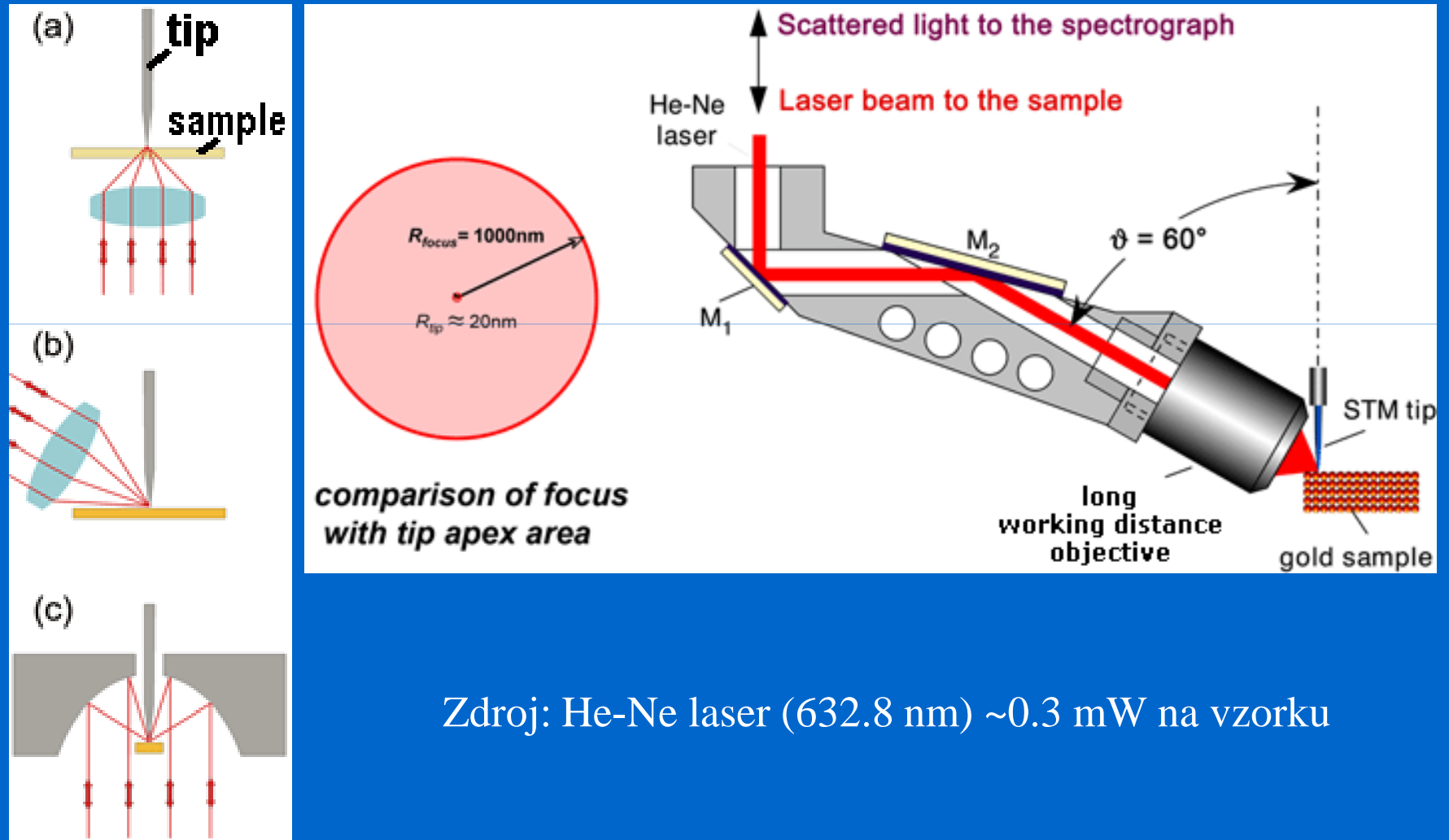
Surface-enhanced and STM-tip-enhanced Raman Spectroscopy at Metal Surfaces

Bruno Pettinger, Gennaro Picardi, Rolf Schuster, Gerhard Ertl
Fritz-Haber-Institut der Max-Planck-Gesellschaft, Faradayweg 4-6,
14195 Berlin, Germany
[Single Molecules](#), [Volume 3, Issue 5-6](#) , Pages 285 - 294

S. Kuwata: *Near Field Optics and Surface Plasmon Polariton*
Springer Verlag, 2001

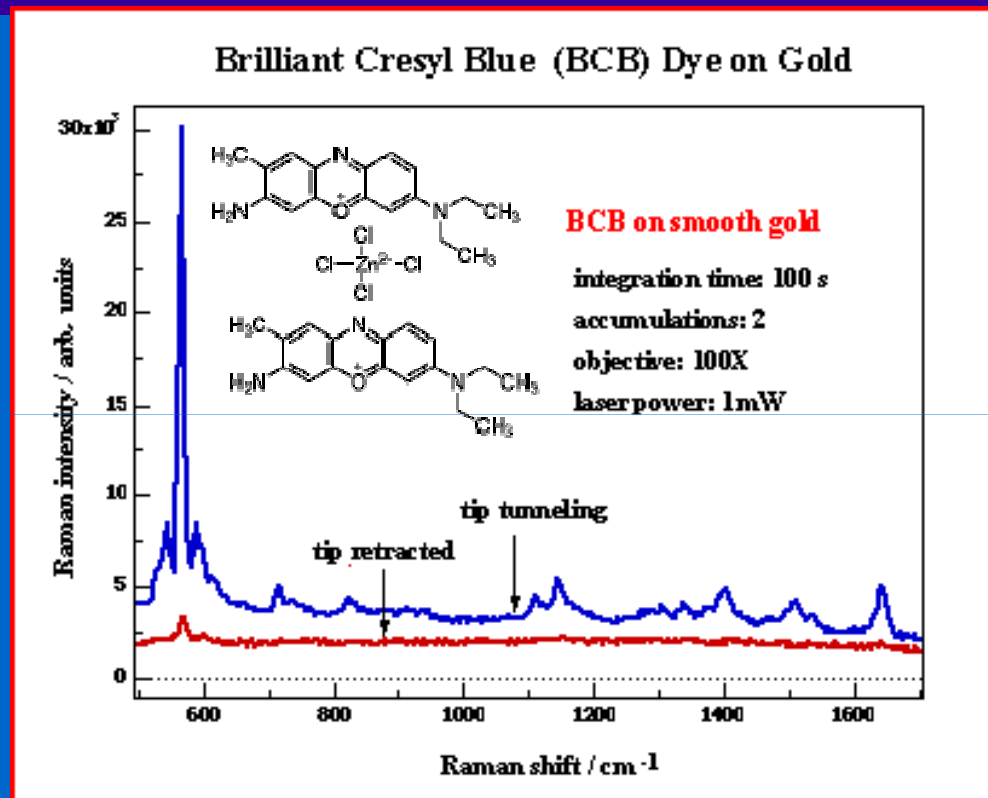


TERS instrumentace



-
-
-

příklady použití TERS

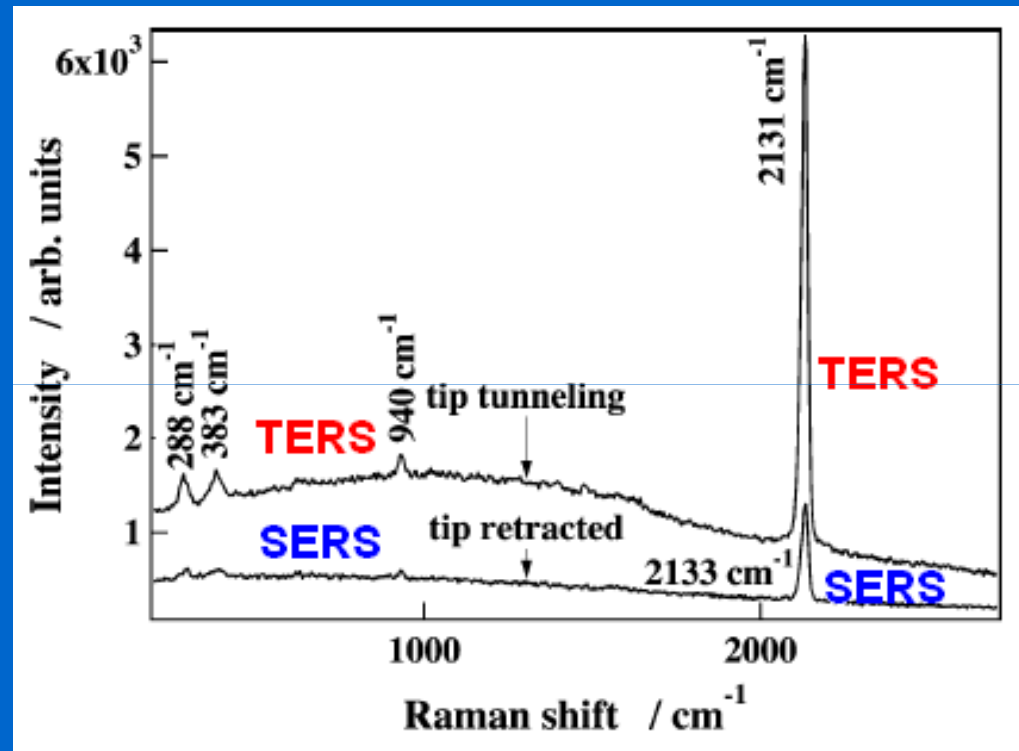


Monovrstva barviva adsorbovaného
na Au filmu, STM Ag-hrot

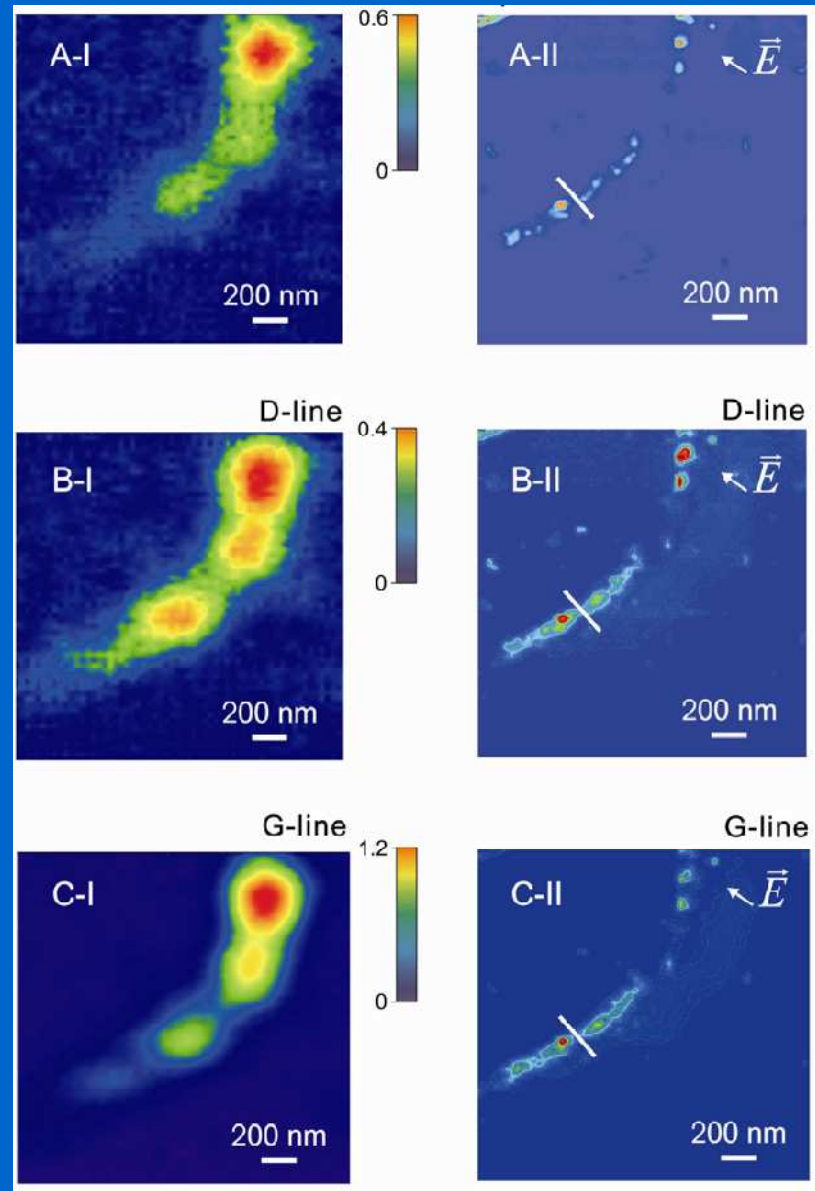
G. Picardi, K. Domke, D.Zhang, B. Ren, J. Steidtner
B. Pettinger [Fritz-Haber-Institut der Max-Planck-Gesellschaft](#)

-
-
-

Srovnání SERS a TERS



SERS (zdrsnělý povrch Au) a
TERS (totéž + Au-hrot)/ads. CN⁻
integrace 1sec, laser 5 mW



zobrazení v režimu TERS

zobrazení svazku SWCNT

ve vibračních modech

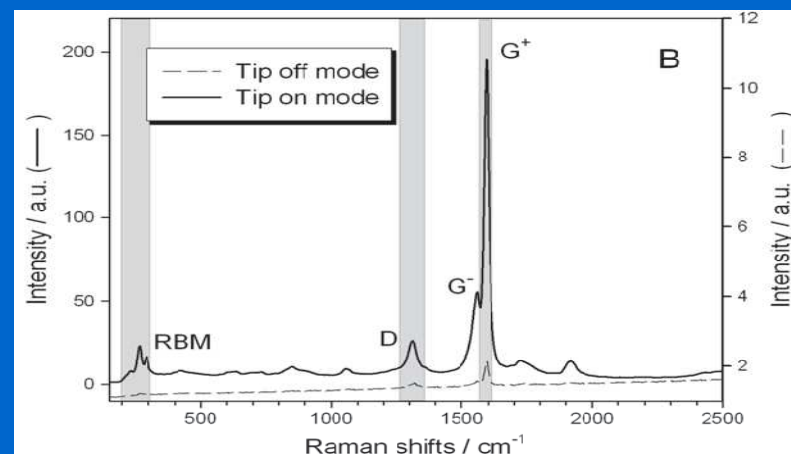
RBM (290 cm^{-1})

D („disorder“ 1300 cm^{-1})

G+ tangenciální C-C stretching
(1594 cm^{-1})

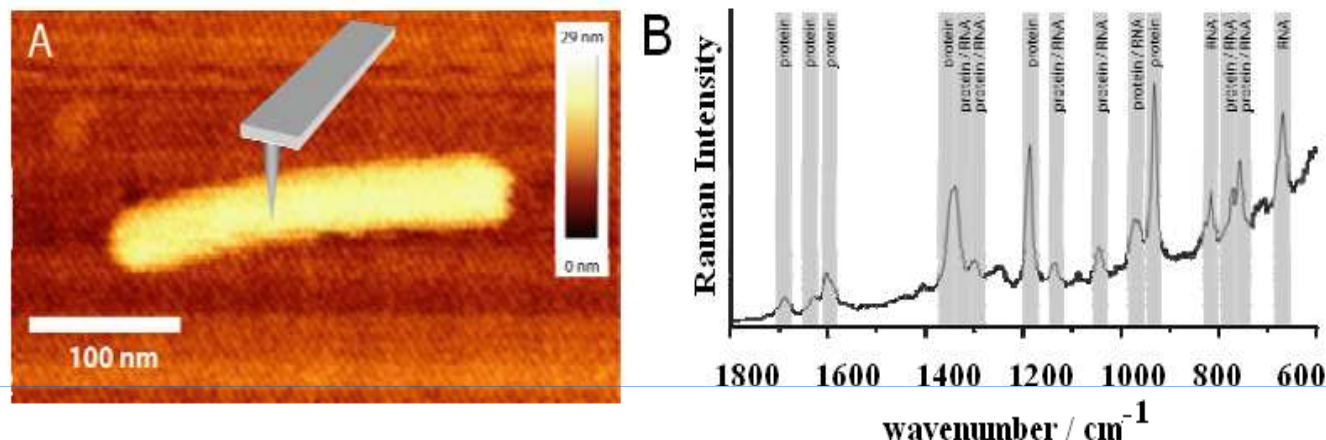
I... „tip off“ („far-field“ konfokál)

II... „tip on“ (TERS)

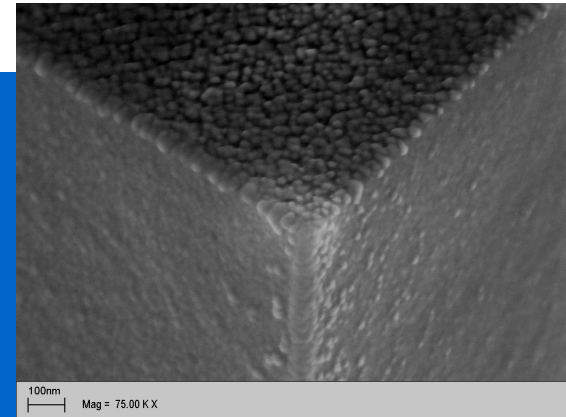


- ● ●

AFM-TERS: zobrazení + analýza



TERS spectroscopic examination of a single tobacco mosaic virus. (A) Before each TERS measurement, an AFM scan with the silver coated AFM tip is performed in order to position the AFM tip directly on a virus. (B) The TERS spectroscopic fingerprint of a tobacco mosaic virus shows that all TERS bands can be assigned protein and RNA contributions.



Metalizovaný (Au) AFM hrot for TERS/AFM

D. Ciala et al

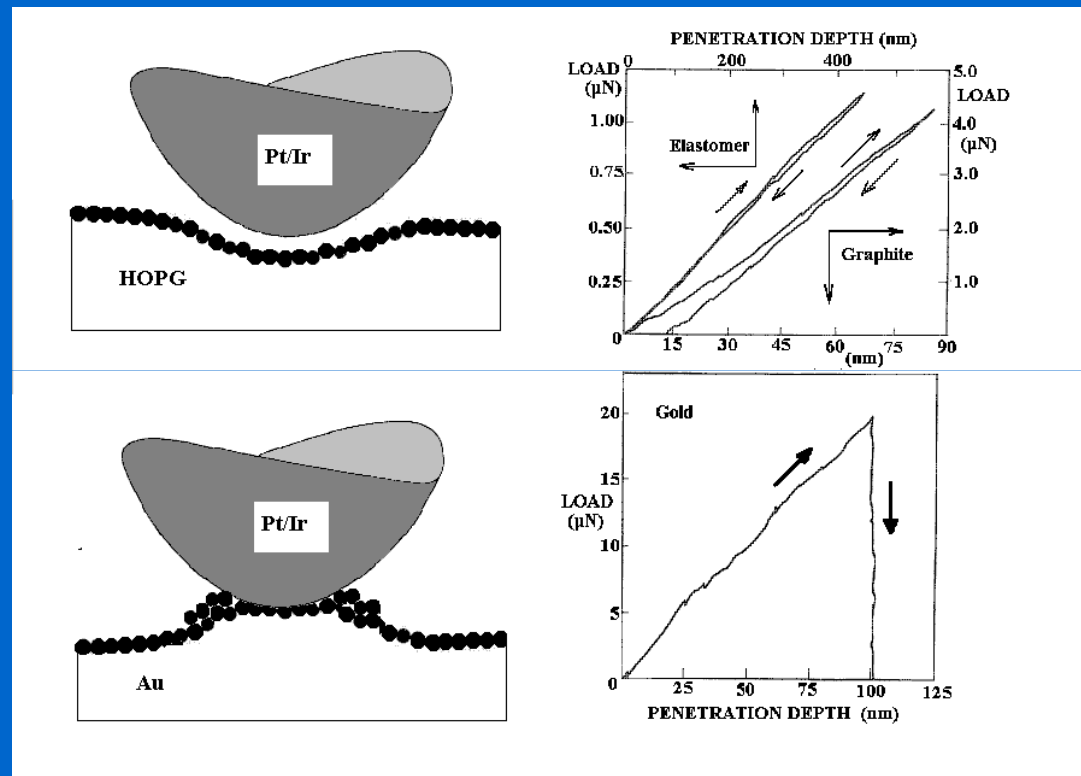
•
•
•

SPM nanomanipulace & nanostrukturování

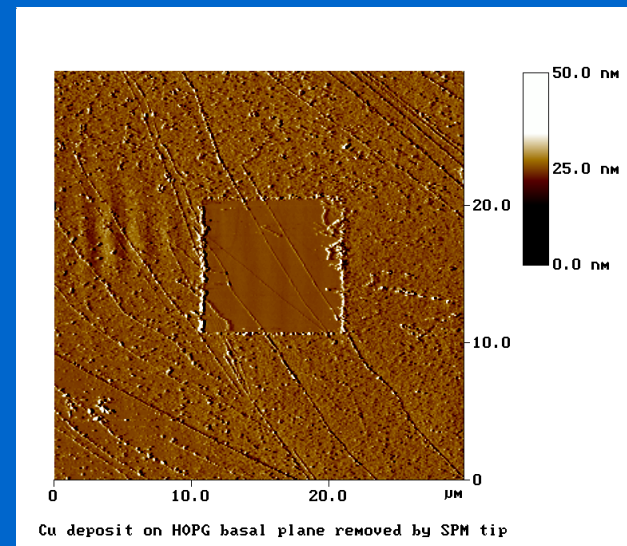
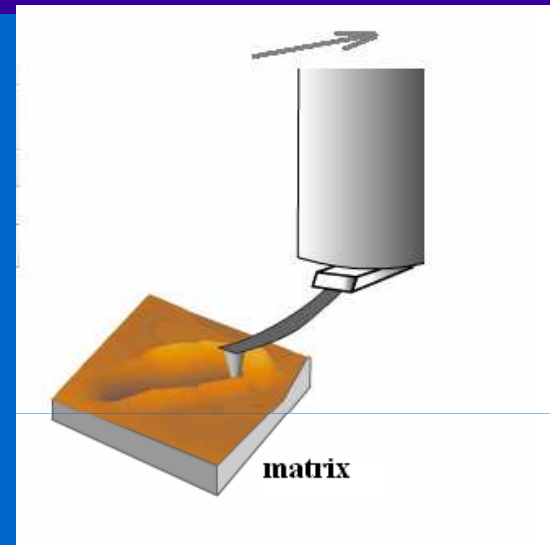
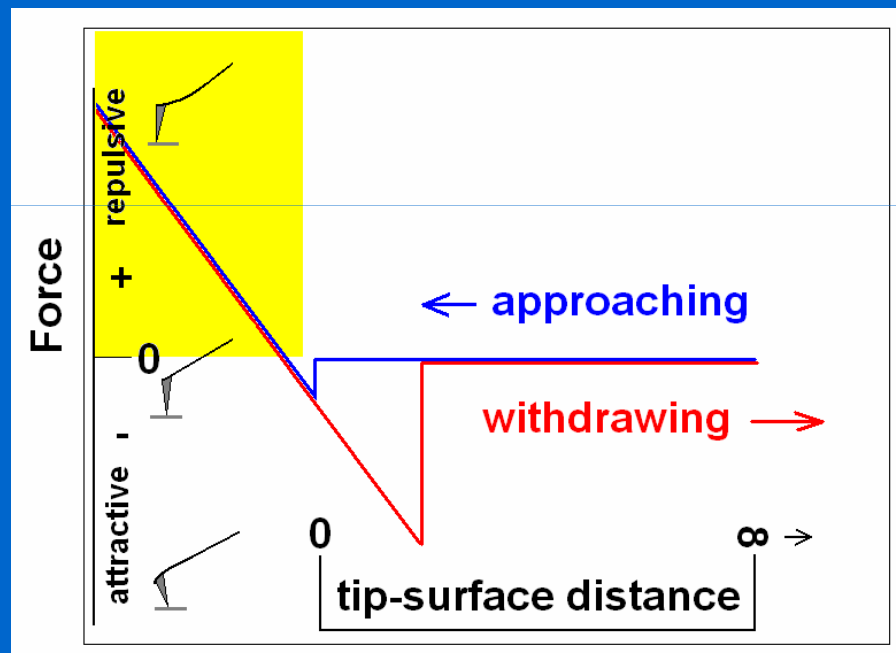


-
-
-

Interakce sonda-povrch vzorku



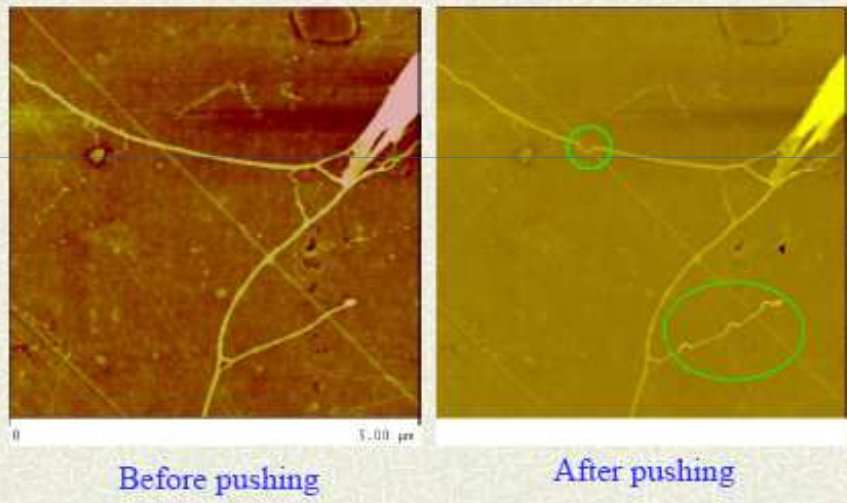
Interakce sonda-povrch vzorku



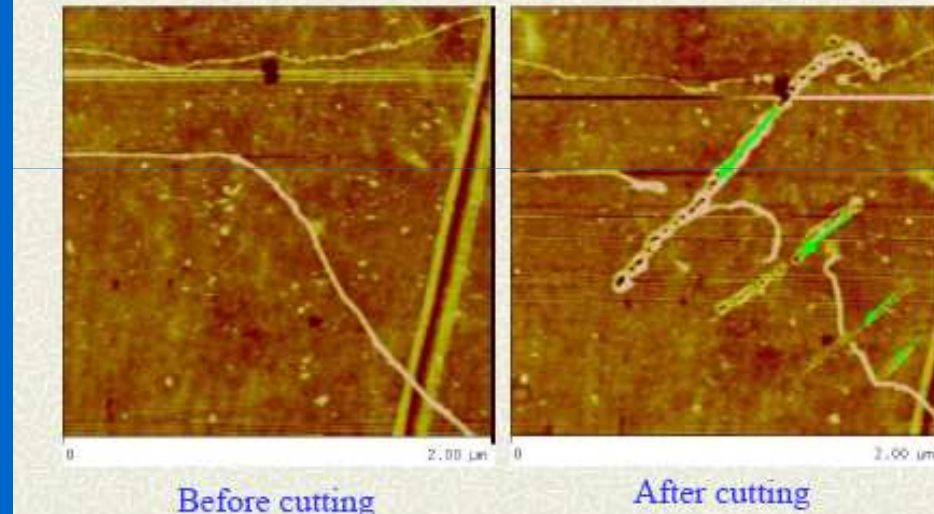
-
-
-

Manipulace na molekulární úrovni

DNA Manipulation: Pushing



DNA Manipulation: Cutting

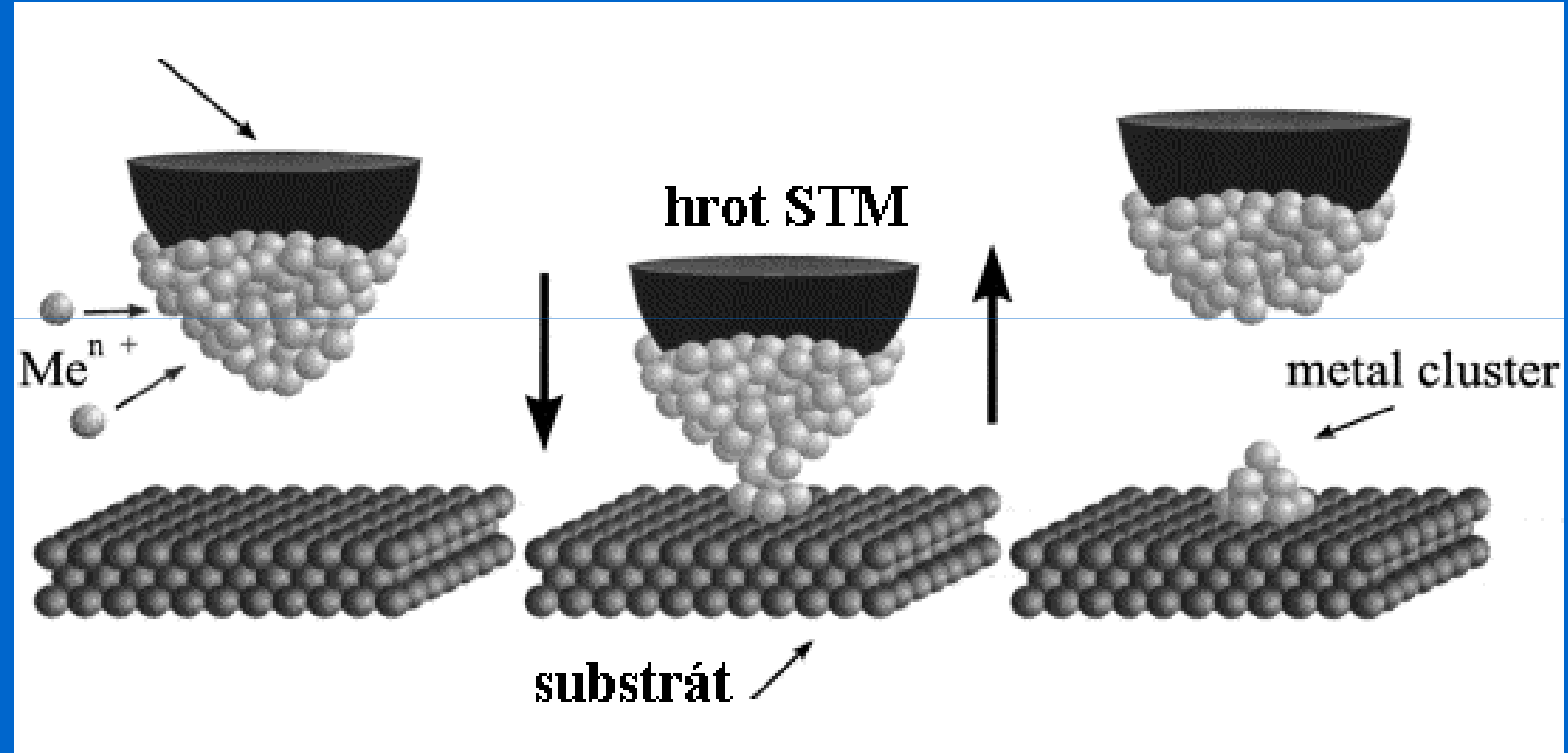


Ning Xi

Department of Electrical and Computer Engineering
Michigan State University

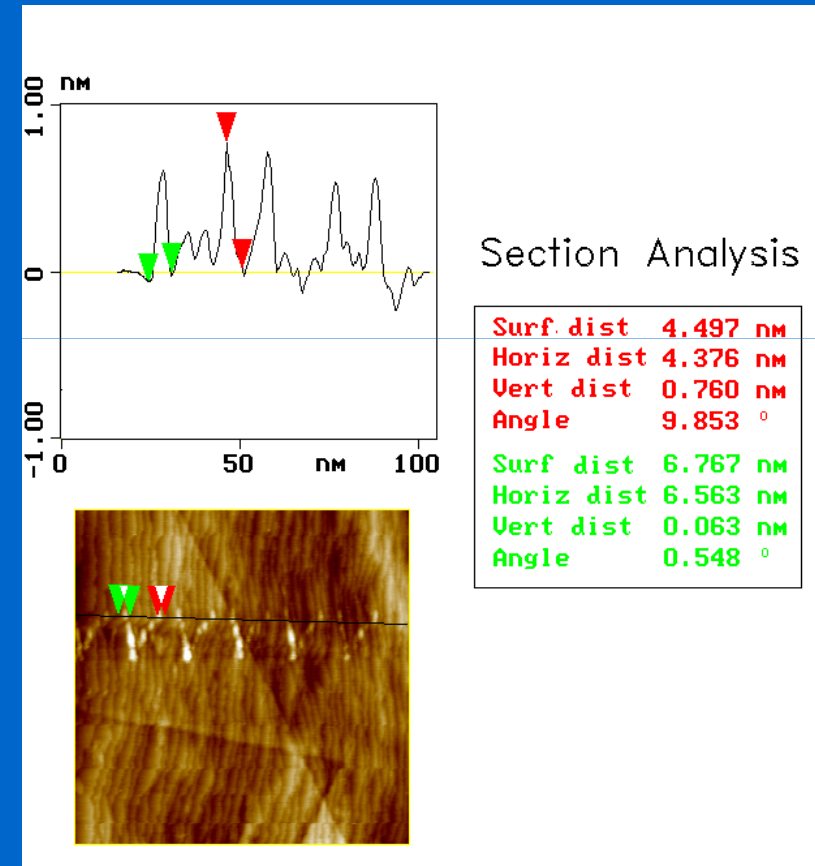
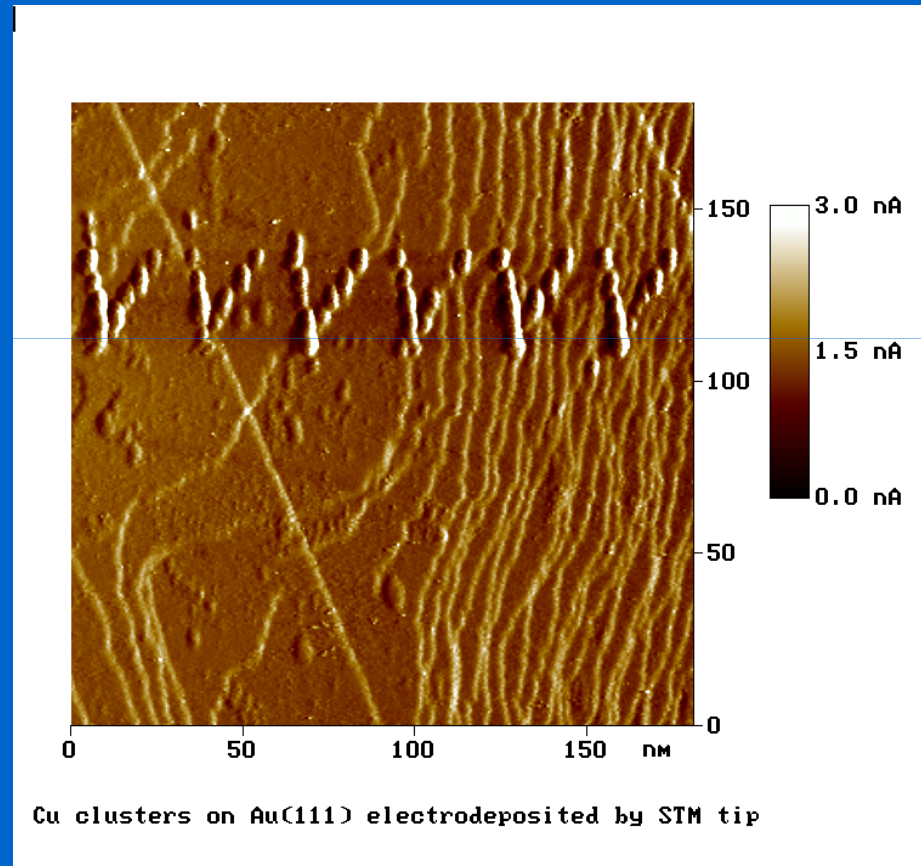
-
-
-
-
-
-
-
-

Nanostruktury vytvářené hrotom (EC)STM



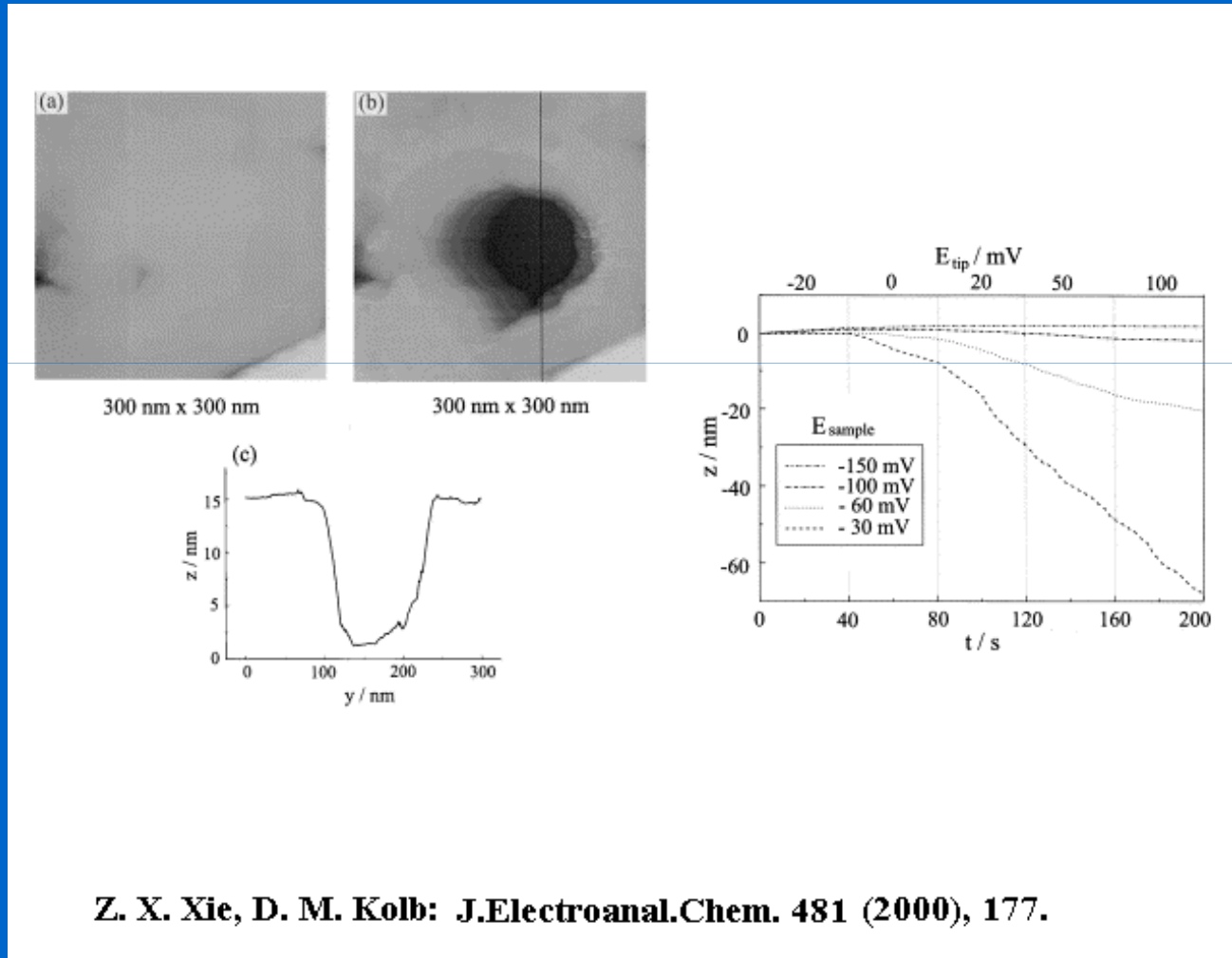
-
-
-

Cu nanočástice vytvořené hrotom STM



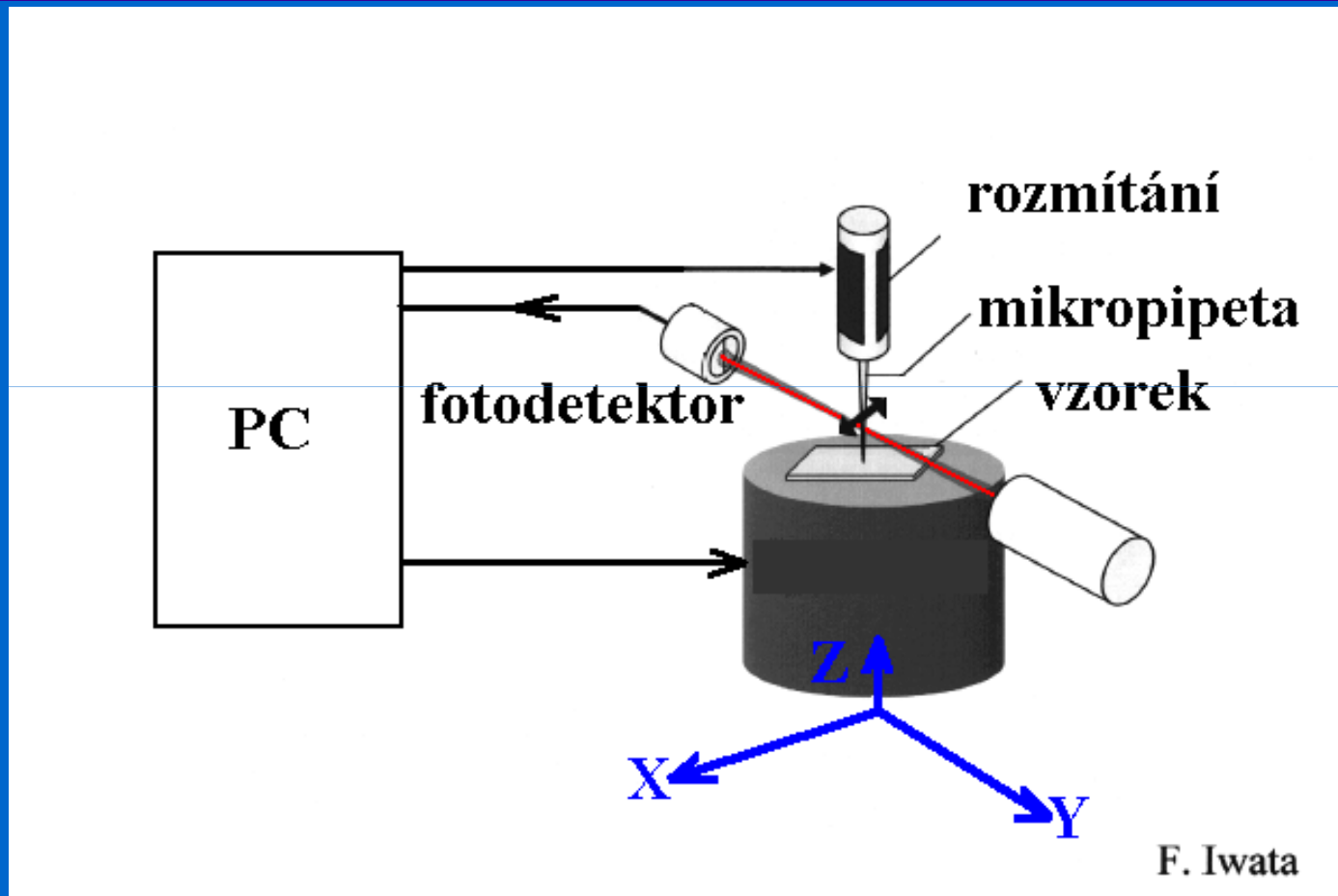
-
-
-

Hrotově indukované rozpouštění

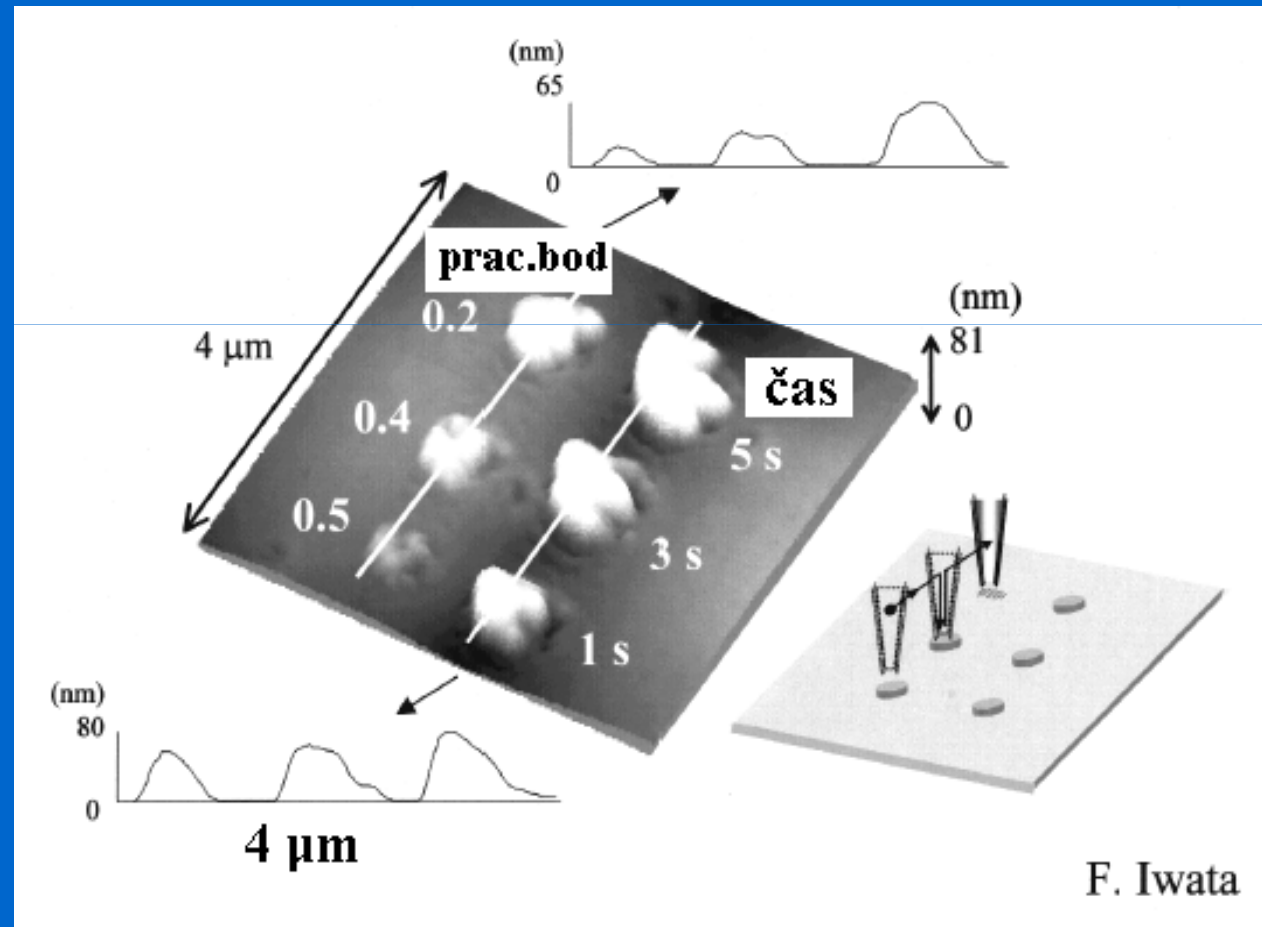


Z. X. Xie, D. M. Kolb: J.Electroanal.Chem. 481 (2000), 177.

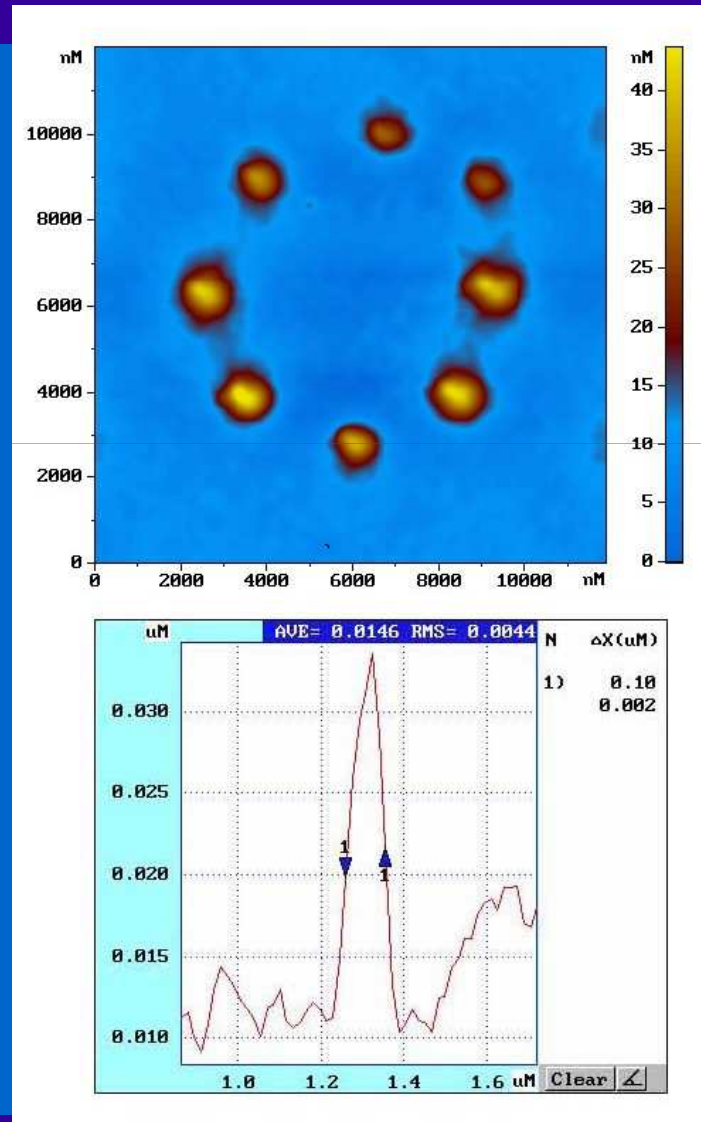
Mikroskop rastrovací mikropipetou



Nanolithografie SPM s rastrovací μ -pipetou



SNOM lithografie



Zdroj: Veeco



Ústav fyzikální chemie Jaroslava Heyrovského, AVČR v.v.i.
Dolejškova 3, 182 23 Praha 8

Laboratoř mikroskopie rastrovací sondou



AFM/STM Nanoscope IIIa Multimode
Pro práci v kapalinách a plynech
Rozlišení ~ 0,1 nm



AFM/STM TopoMetrix TMX 2010
Pro práci v kapalinách a plynech
Rozlišení ~ 0,1 nm

<http://www.jh-inst.cas.cz/~janda>
pavel.janda@jh-inst.cas.cz